

# Přednáška STM, AFM pro EMFKL

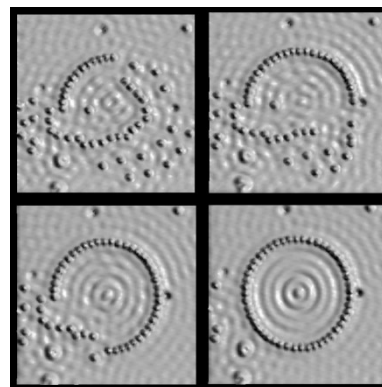
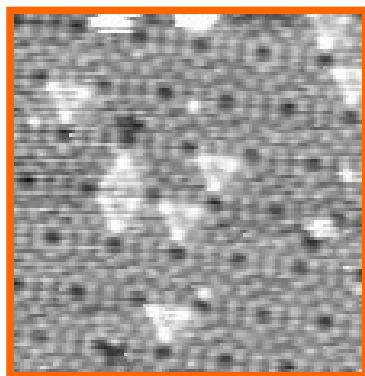
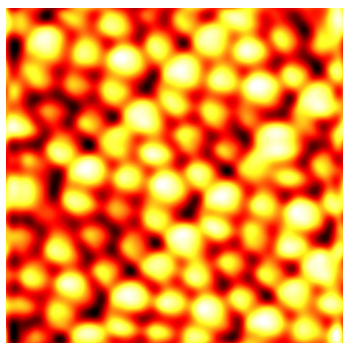
RNDr. Pavel Kocán, Ph.D.

[pavel.kocan@mff.cuni.cz](mailto:pavel.kocan@mff.cuni.cz)

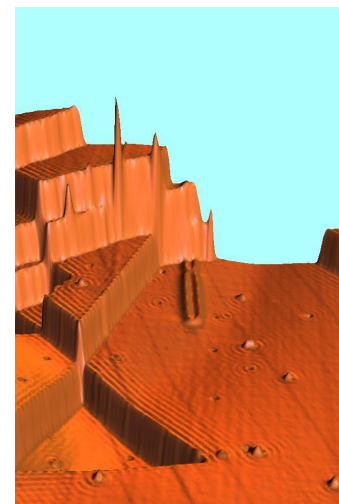
Doc. Ivan Oš'ádal, CSc.

# 1. scanning tunneling microscope

STM – řádkovací tunelový mikroskop  
(nebo taky rastrovací tunelový mikroskop...)

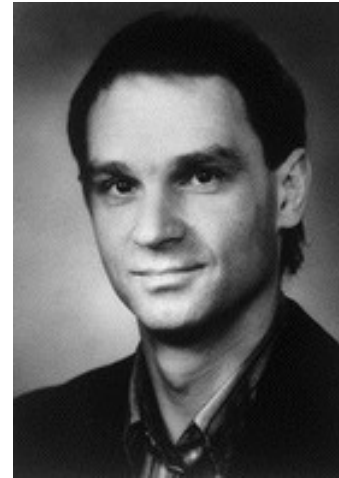
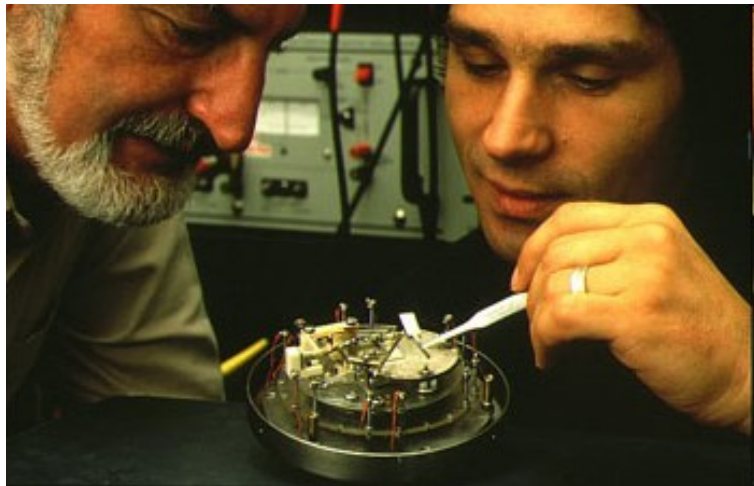


IBM

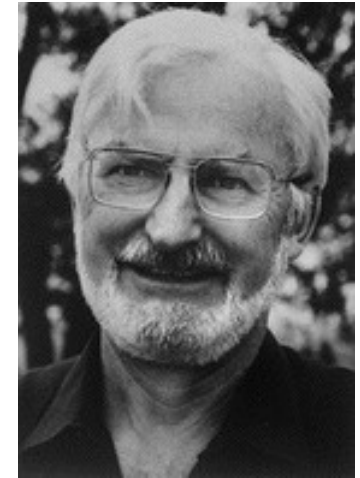


*Nature 363, 524-527 (1993)*

# NC v roce 1986



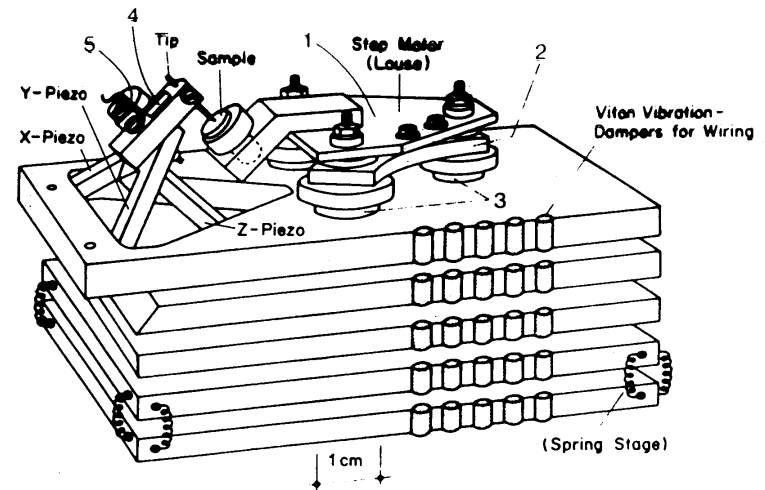
Gerd Binnig



Heinrich Rohrer

**Gerd Binnig a Heinrich Rohrer** (IBM Research Laboratory, Zurich, Švýcarsko) - Nobelova cena roku 1986 **za návrh rastrovacího tunelového mikroskopu**

společně s prof. **Ernstem Ruskou** (Fritz-Haber-Institut der Max-Planck-Gesellschaft) za základní práci v elektronové optice a za návrh prvního elektronového mikroskopu



# Řádkovací tunelový mikroskop - princip

- Doc. Peksa: “rejpání hřebíkem do kusu plechu”

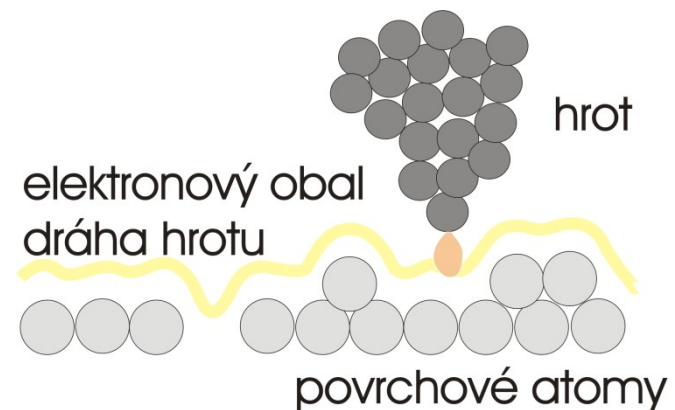
- sonda - poslední atom ostrého hrotu

- hrot tak blízko povrchu, že teče tunelový proud - tunelový efekt

- udržení konstantní vzdálenosti od povrchu pomocí regulace konstantního tunelového proudu + skenování povrchu =

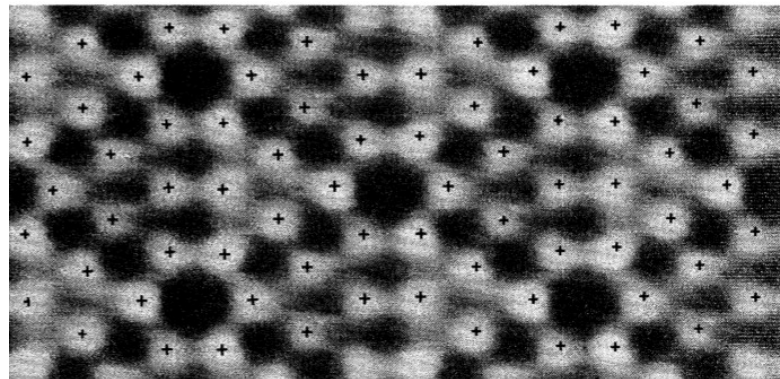
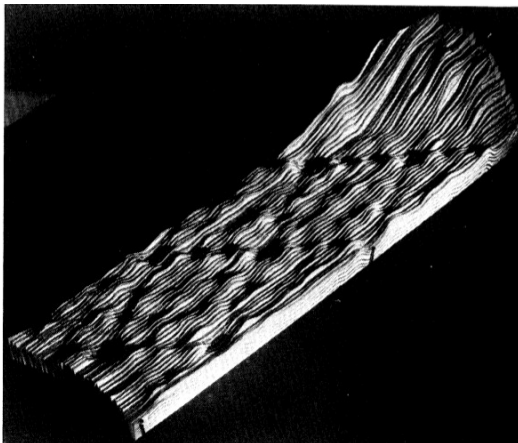
- výsledek: atomární rozlišení v reálném prostoru

= STM (Scanning Tunneling Microscope)



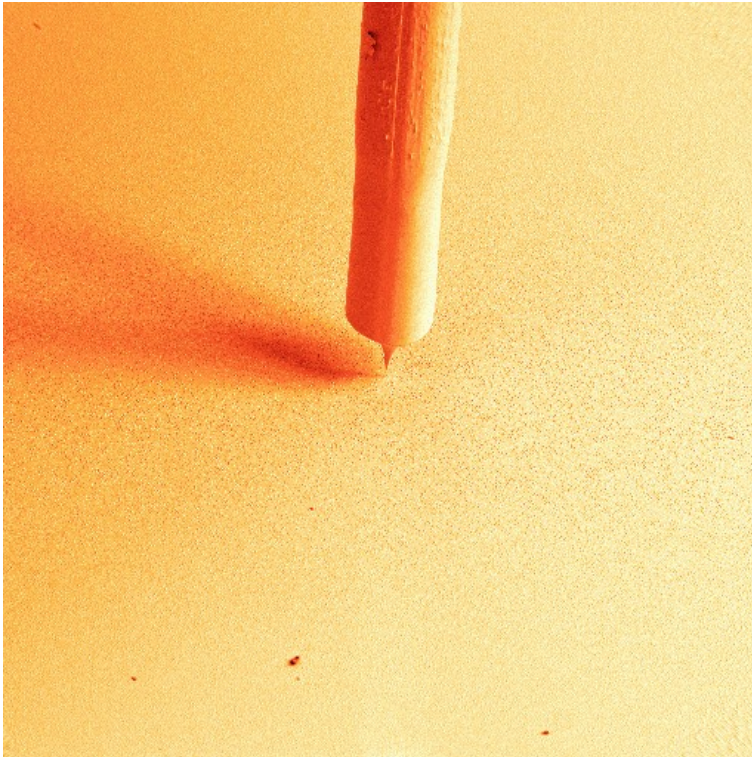
# Zasazení do kontextu

- Povrchové metody
- Integrální metody jsou dlouho známé
  - **Difrakce pomalých elektronů (LEED)** – inv. 1927, populární od 1960
  - **X-ray photoelectron spectroscopy (XPS)** – efekt znám dlouho, první výsledky 1950s
  - **Auger electron spectroscopy (AES)** – inv. 1920s, populární od 1950s.
- Chybějící informace: lokální uspořádání na atomární úrovni
- Příklad: **Si(111)7x7**
  - známa dlouho, množství navržených a zavržených modelů na základě spektroskopických a difrakčních metod
  - po objevu STM a atomárně rozlišených snímcích 7x7 model rychle dokonvergoval ke správné struktuře

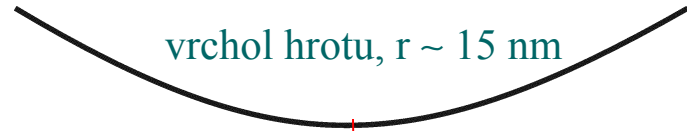




# Scanning Tunneling Microscope



wolframový drát,  $\varnothing$  0.25 mm



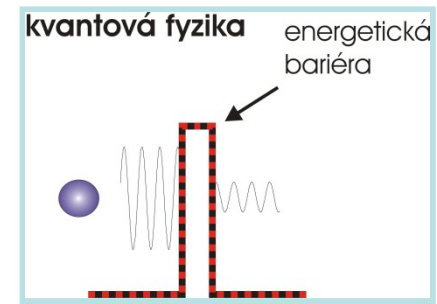
vrchol hrotu,  $r \sim 15$  nm



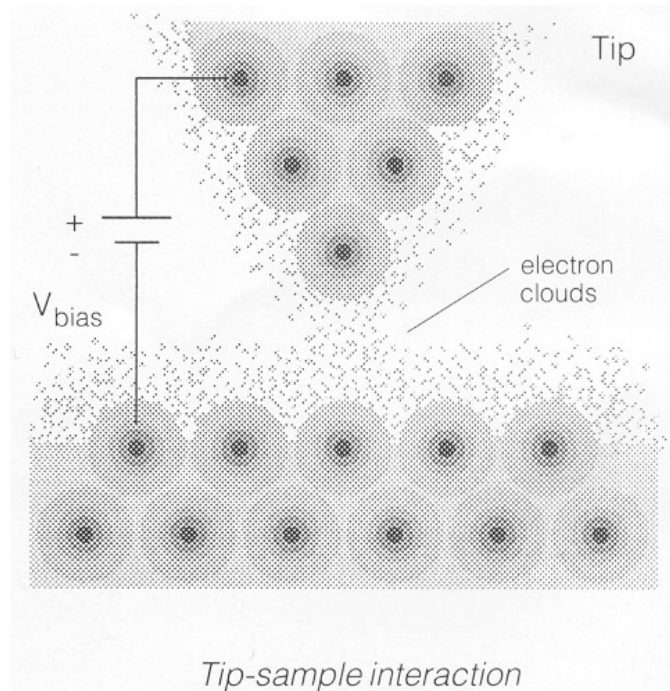
rastrovaný povrch



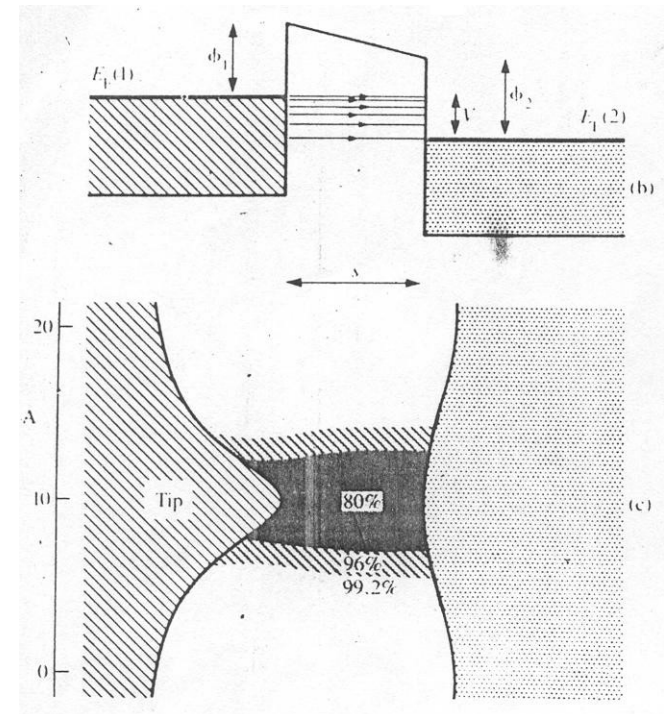
# Scanning Tunneling Microscope



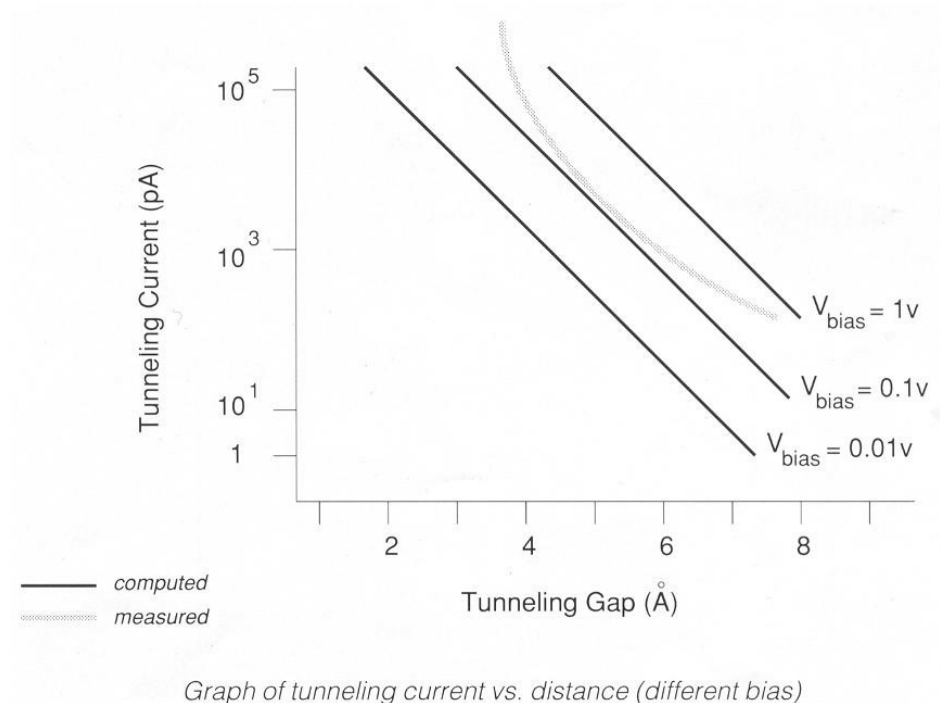
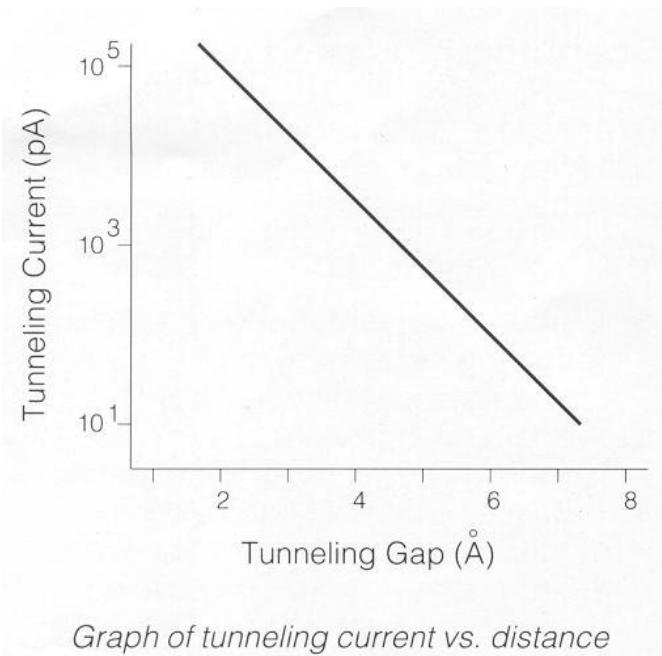
vlnově-částicová dualita - elektron se chová jako částice i jako vlnění



$$I = f(V) \exp(-s \phi^{1/2})$$



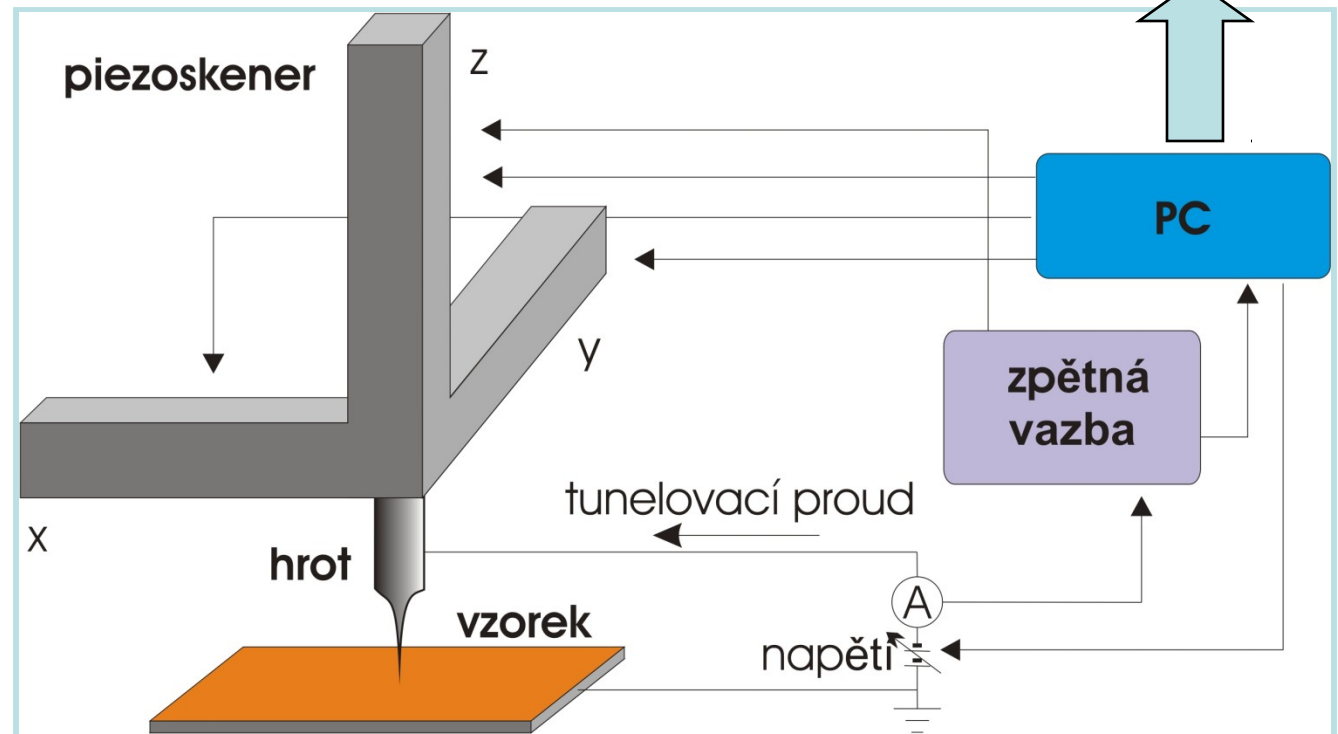
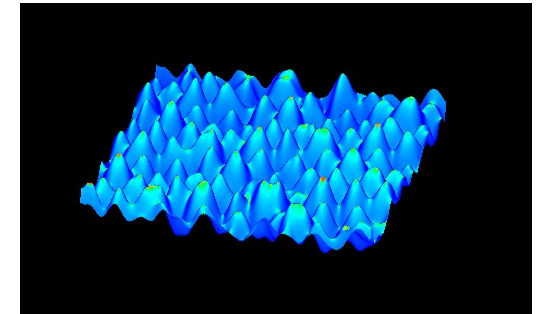
# Závislost tunelového proudu na vzdálenosti elektrod



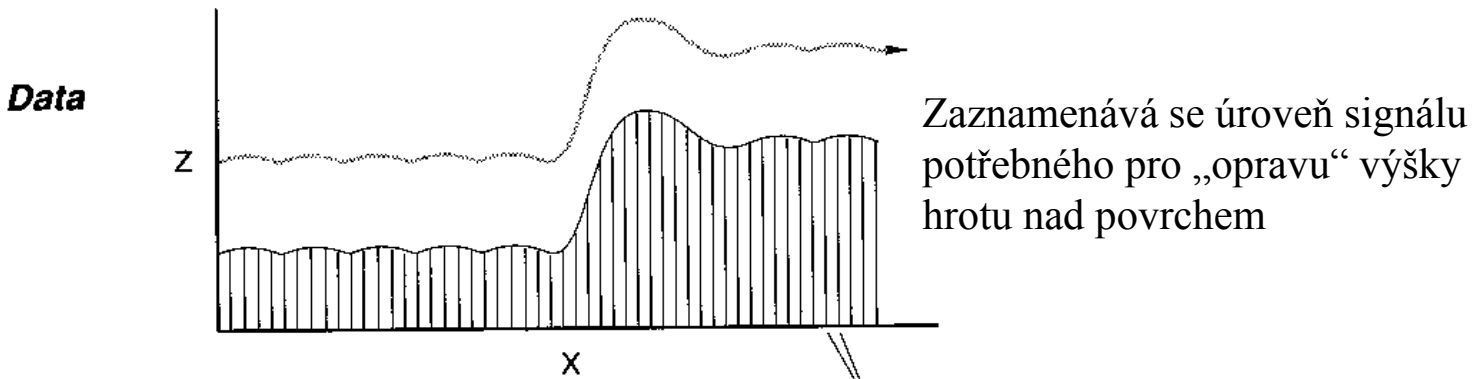
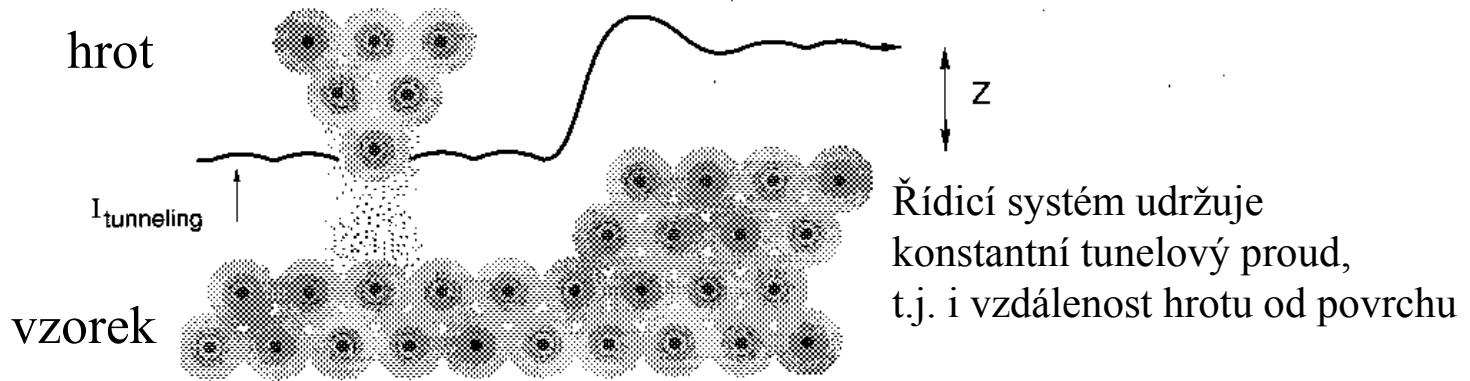


# Řádkovací tunelový mikroskop - realizace

- 1) (polo)vodivý vzorek
- 2) ostrý hrot
- 3) jemný pohyb x,y,z – piezokeramika
- 4) zpětná vazba

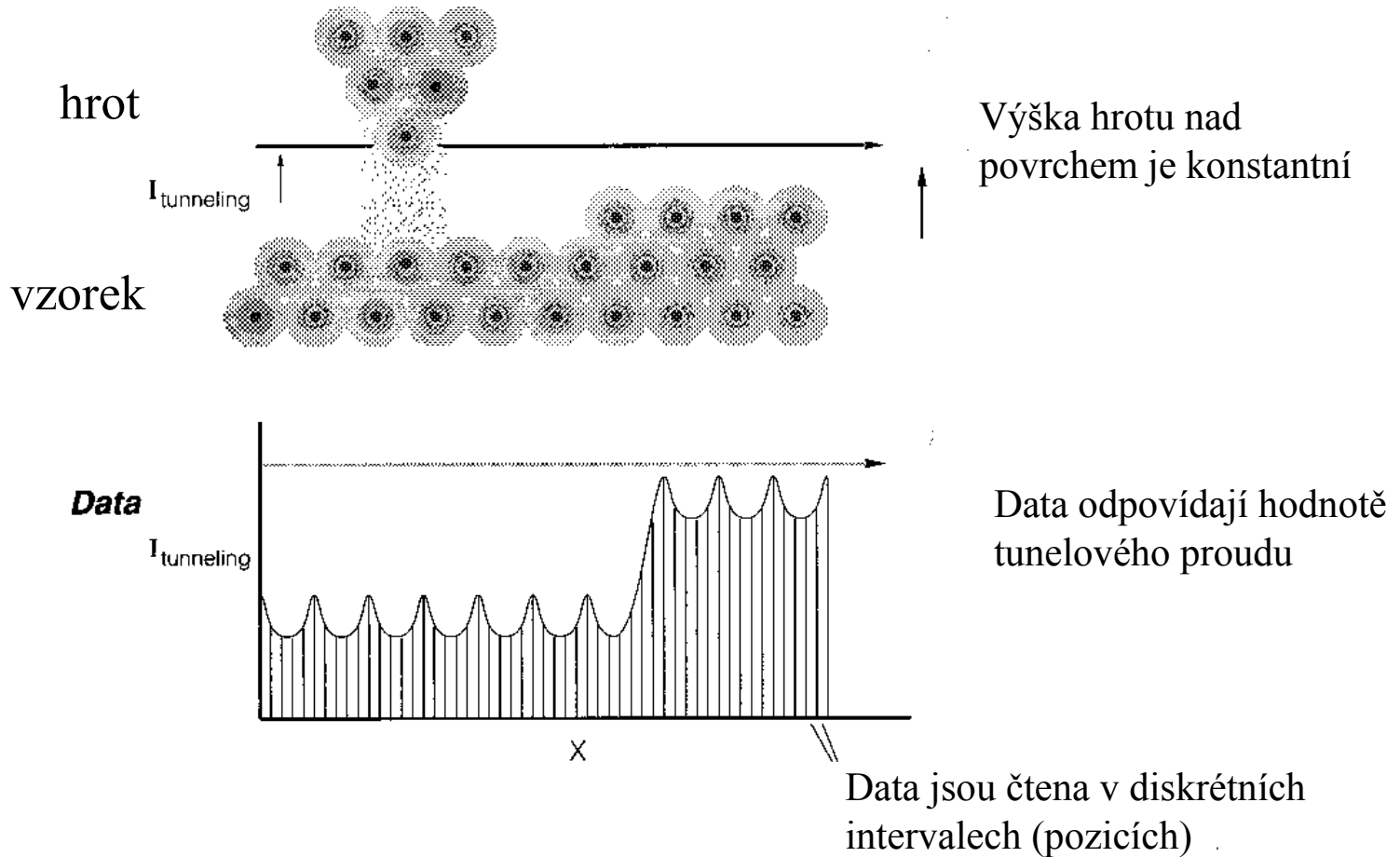


# Technika STM – mód konstantního proudu



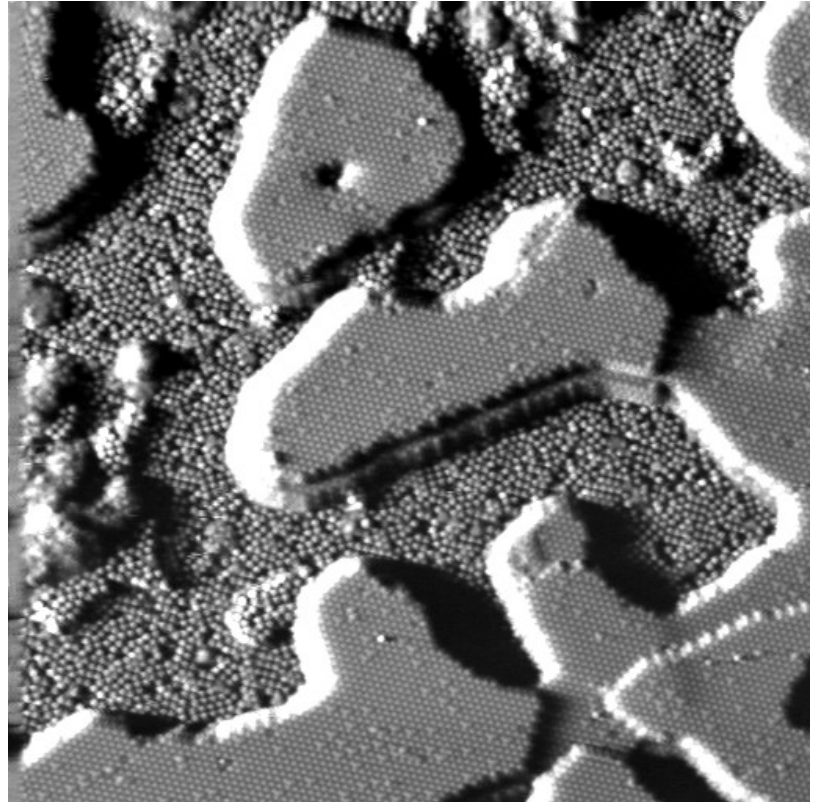
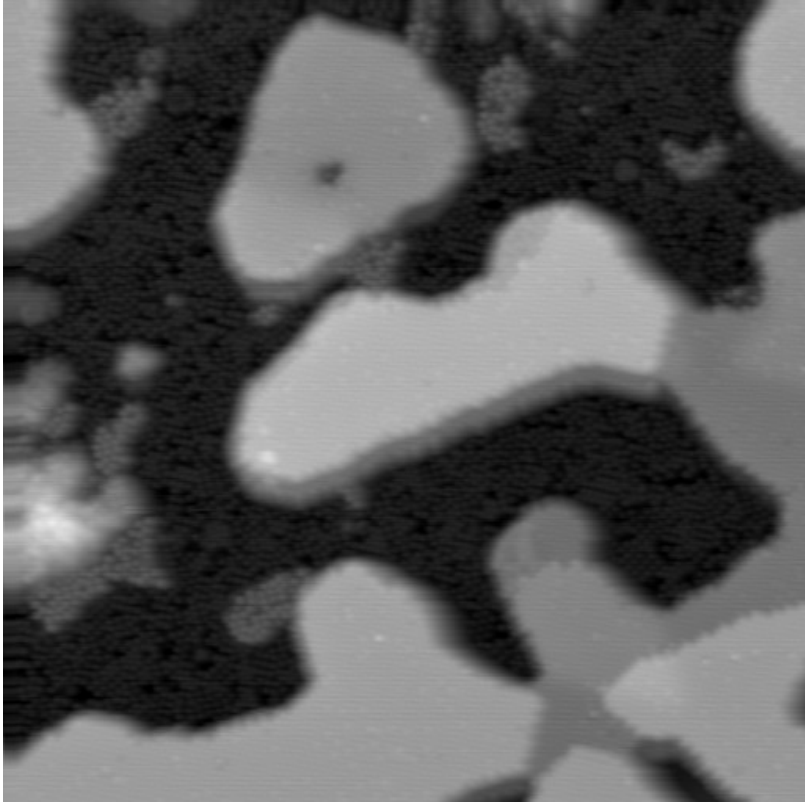
data čtená v diskretních intervalech (pozicích)

# Technika STM – mód konstantní výšky



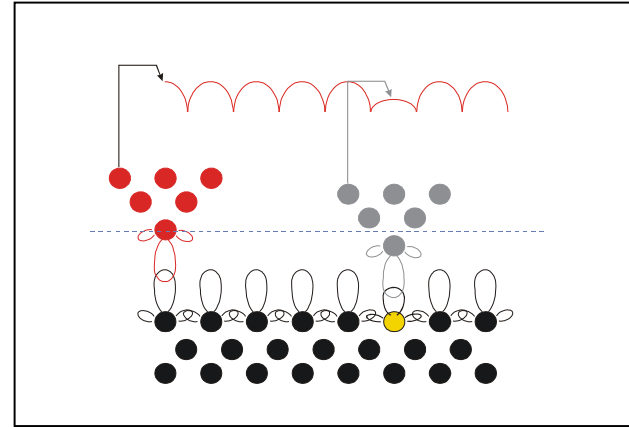
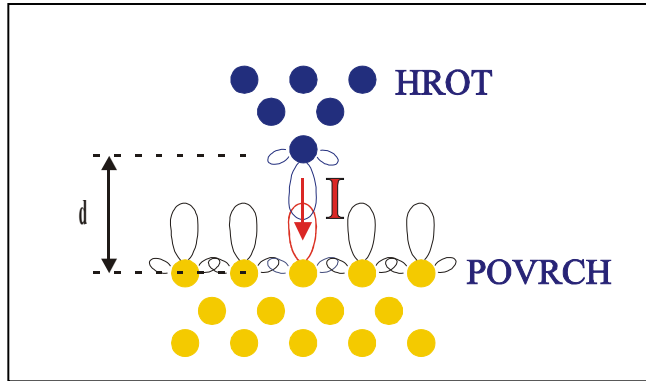
v praxi – zpětná vazba se potlačí pouze částečně – reaguje pouze na „hrubší“ změny, v proudovém obrázku vyniknou detaily

# Porovnání z-ového a proudového modu

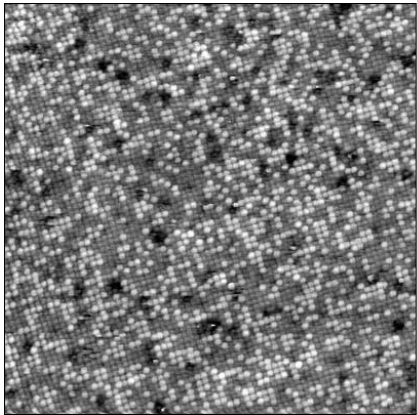


MnSi na Si(7x7)

# Princip STM – vliv elektronových stavů



STM zohledňuje lokální hustotu elektronových stavů:



Institut für Allgemeine Physik, TU Wien

$$I = \frac{2\pi|e|\hbar}{\hbar} \int_0^{eV} \rho_L(E_F - eV + \varepsilon) \rho_R(E_F + \varepsilon) |M|^2 d\varepsilon$$

Hrot sleduje plochu konstantní lokální hustoty stavů pro energii odpovídající potenciálu hrotu vůči Fermiho mezi vzorku. Zdánlivá „výška“ atomu viděná hrotem závisí na elektronické konfiguraci atomů zkoumaného povrchu.

◀ Proto se v obrázku monokrystalické slitiny PtRh jeví Pt tmavší.

► STS – Scanning Tunneling Spectroscopy



# vliv elektronových stavů – inverzní kontrast

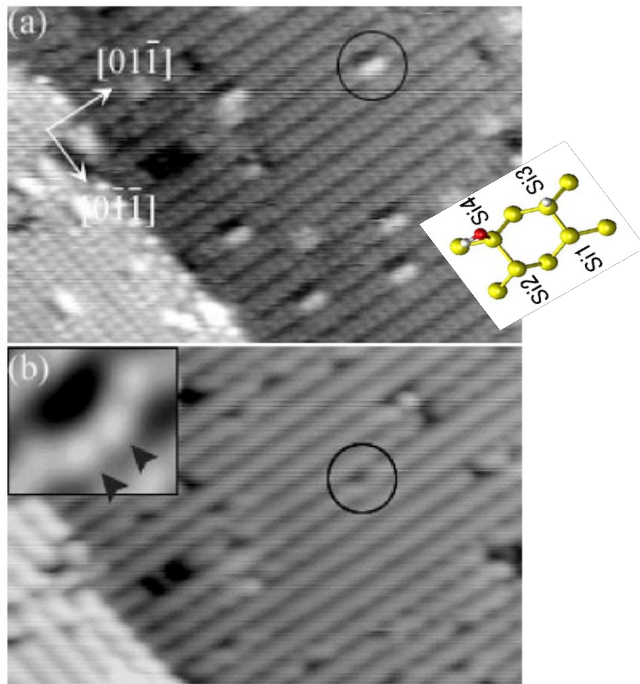
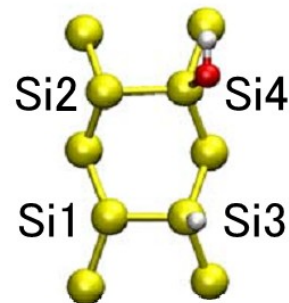


FIG. 1. STM images at the same area of clean Si(100) in (a) the unoccupied and (b) the occupied states at 300 K. Scan area is  $15 \times 10 \text{ nm}^2$  for both images. For (a),  $V_{\text{sample}} = 1.4 \text{ V}$ ,  $I = 0.13 \text{ nA}$  and for (b),  $V_{\text{sample}} = -1.9 \text{ V}$ ,  $I = 0.13 \text{ nA}$ . A typical *C* defect is enclosed by the circles. A zoomed-in *C* defect in the occupied state is shown in the inset where two protrusions on two adjacent dimers are clearly seen and the other half of the dimers is depressed.

PRB 67 153307 (2003)



PRB 77 113301 (2008)

# tungsten tips used in experiments

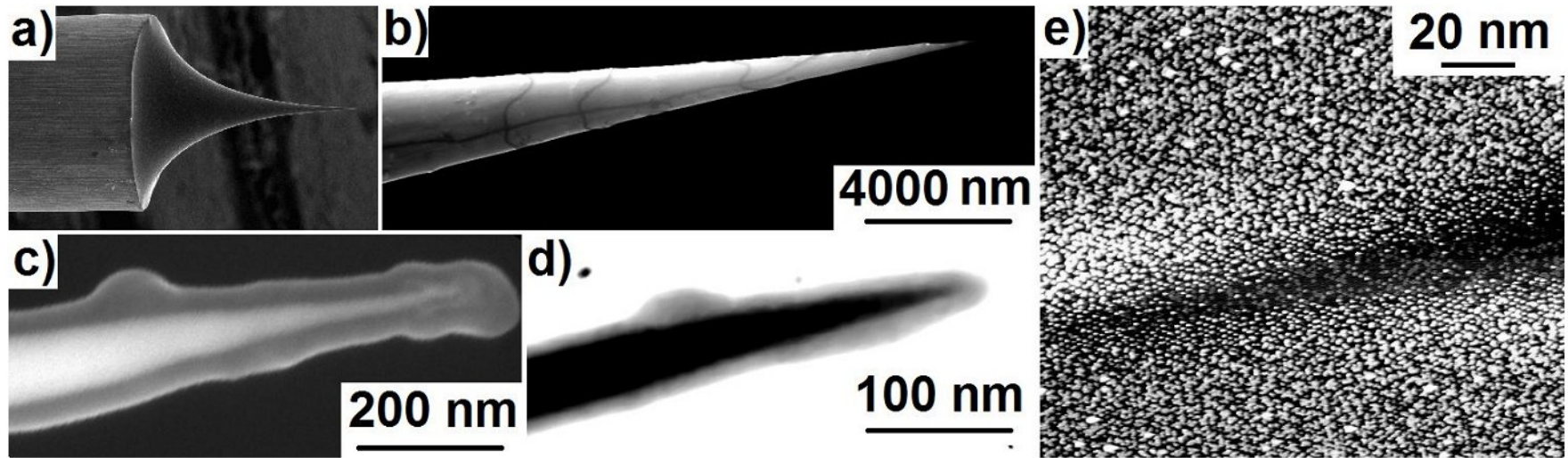
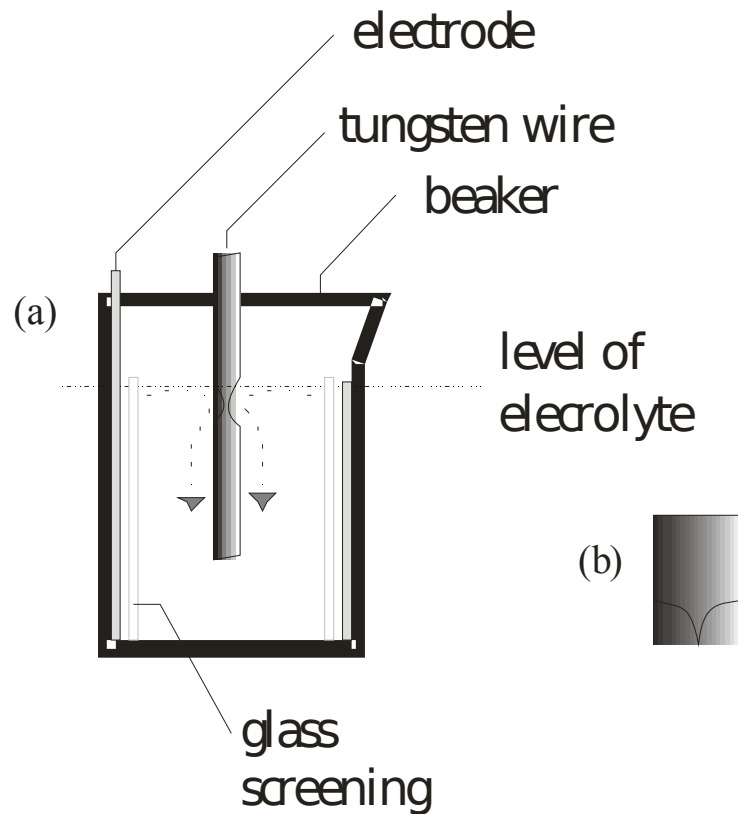


Figure 1: Images of tungsten tips taken few hours after etching. a) Large-scale SEM image, the wire diameter is 0.3 mm; b) SEM image showing microcrystalline structure of the tip; c) and d) SEM and TEM images of tips with curvature radius less than 5 nm. Tungsten core is covered by a thick oxide layer; e) STM image of Ag/Si(111)-(7×7) layer deposited when the tip was in tunneling contact with the surface. The tip 'shadow' is visible in the layer.

# Příprava hrotů pro STM – leptání W hrotu v roztoku NaOH



# Úprava hrotu v UHV

- ohřev
  - přímým kontaktem
  - elektronovým bombardem
  - autoemisním proudem
- vyboření hrotu o povrch

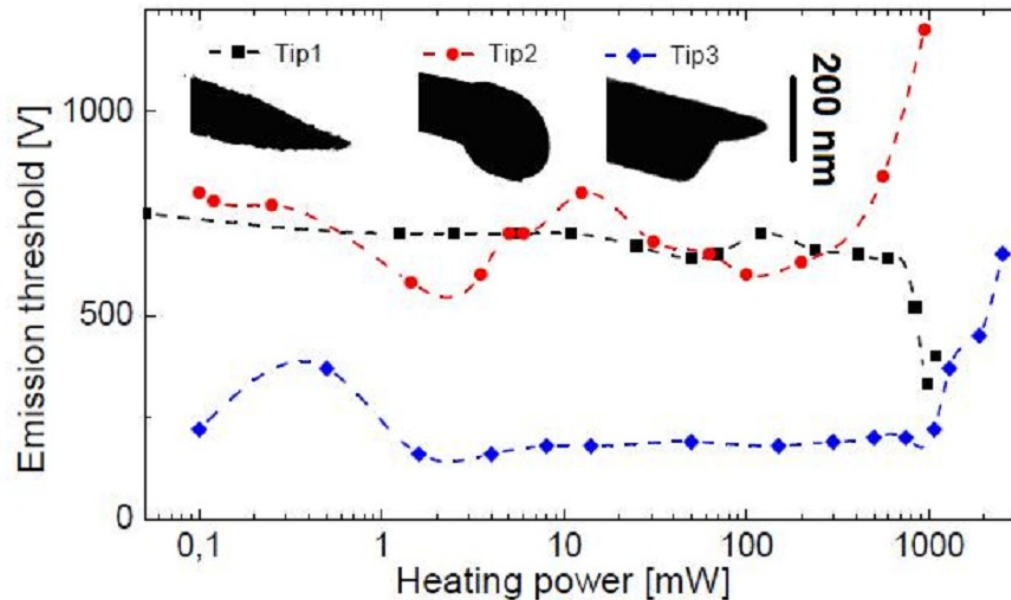
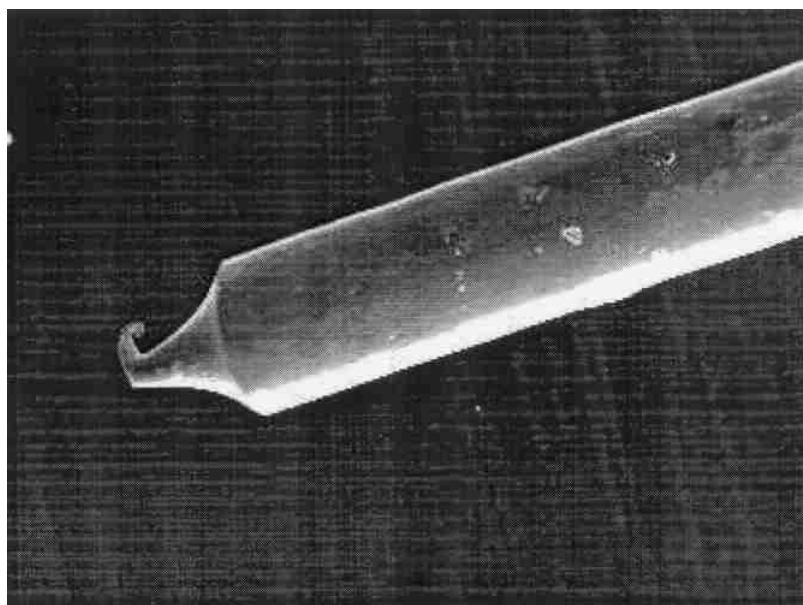
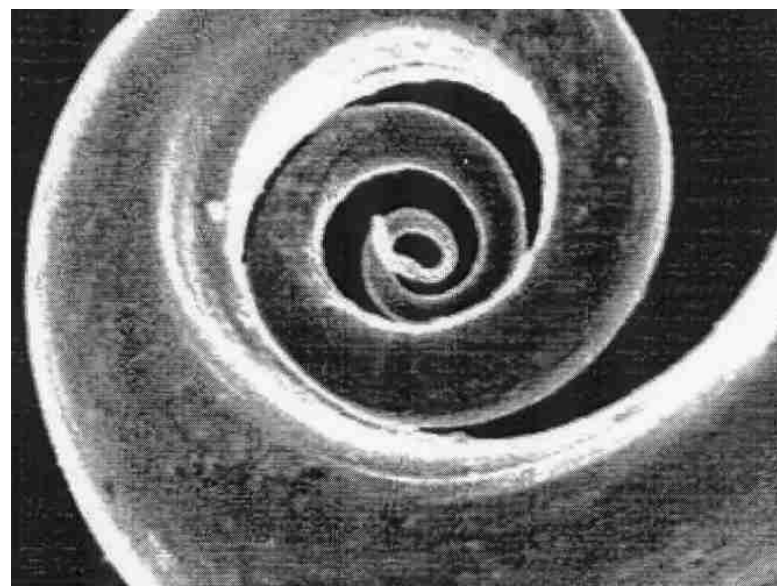


Figure 5: Cleaning the tips by electron bombardment. Evolution of autoemission threshold with increasing heating power. Dashed lines are to guide the eye. Profiles of the tips after the treatment are included (imaged by TEM).



—|—| 200  $\mu\text{m}$

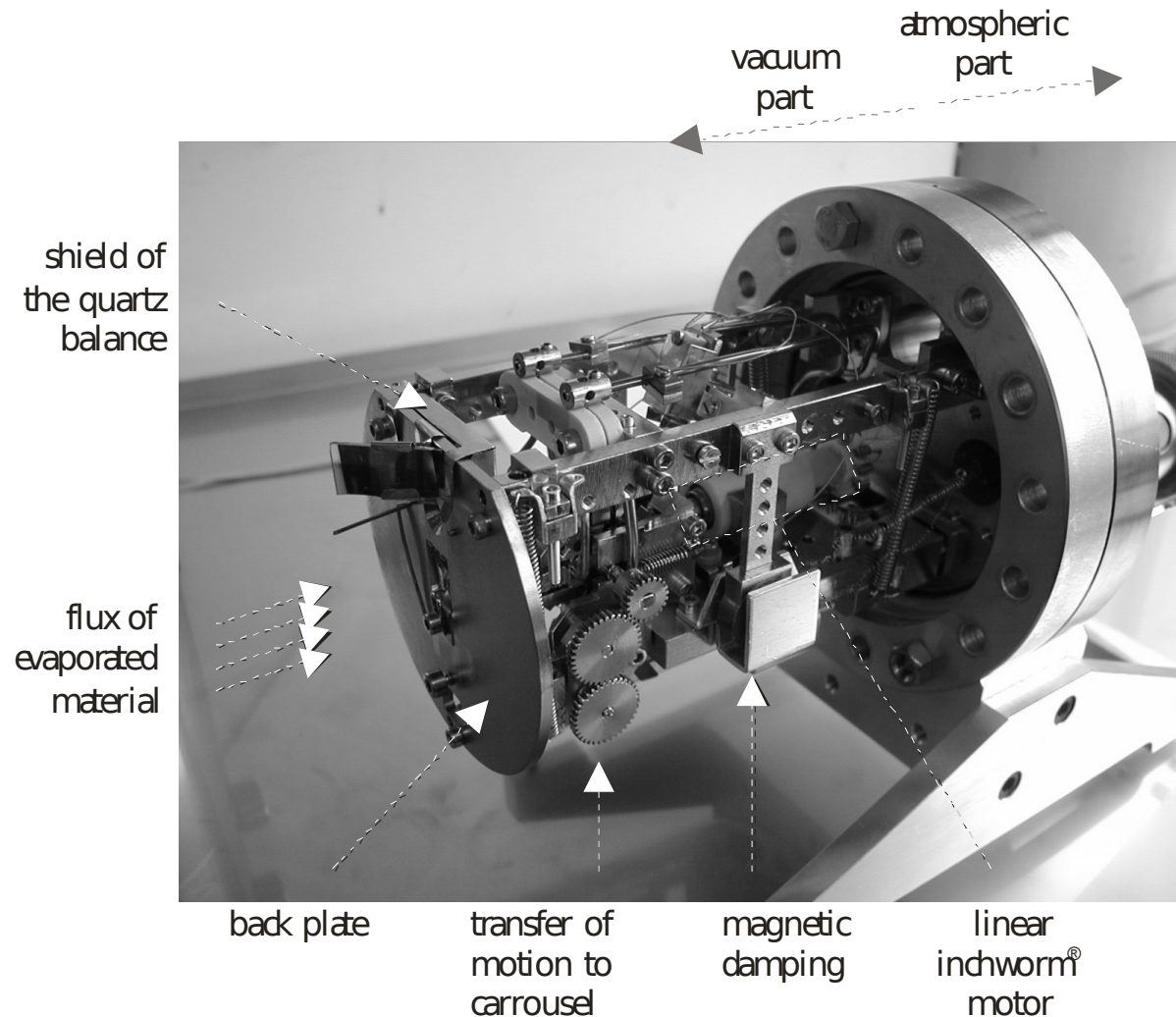


—|—| 0.5  $\mu\text{m}$

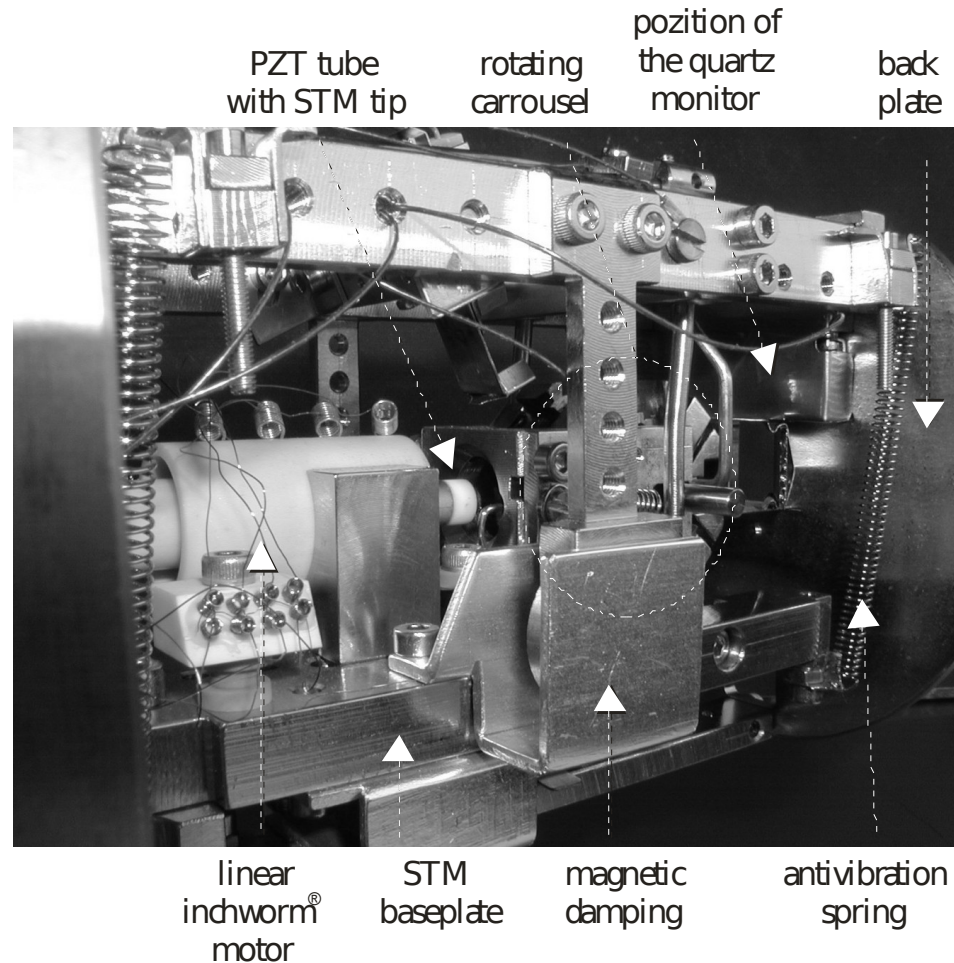
Pt-Ir hrot po kolizi s povrchem vorku  
KFPP, snímek ze SEM (J. Macl)



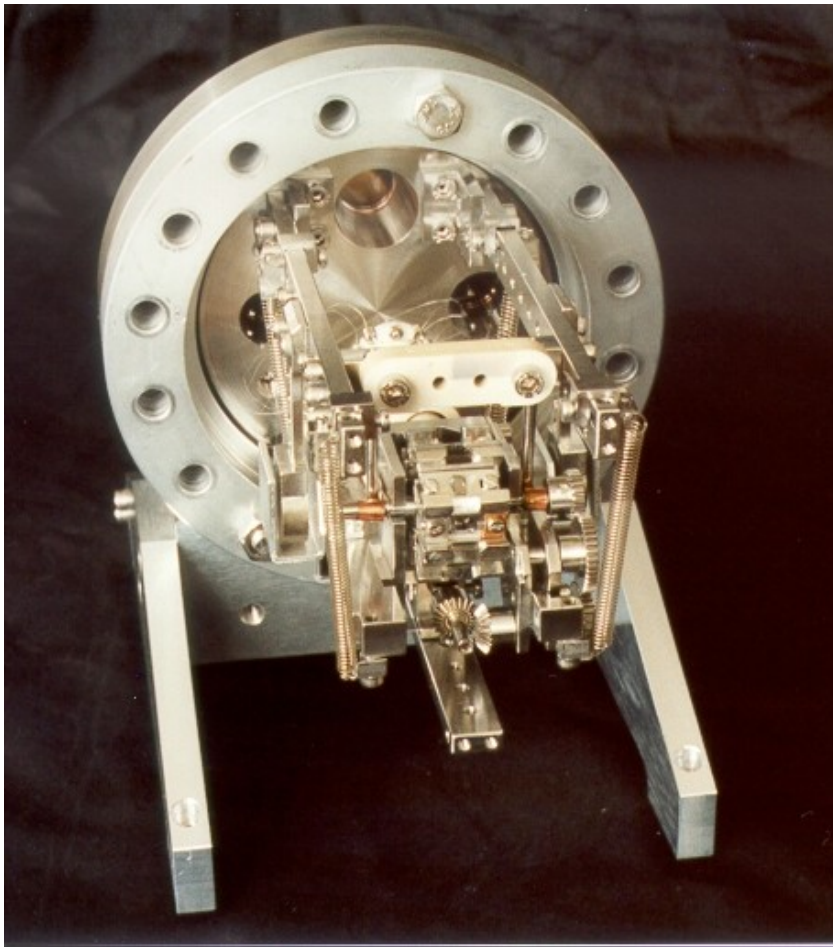
# Realizace STM na KFPP



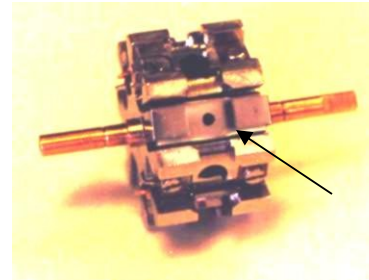
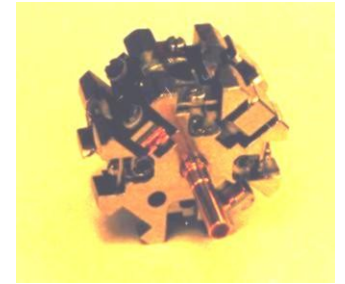
# Realizace STM na KFPP



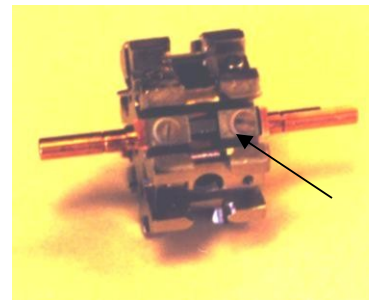
# UHV STM head ASCAN



Carrousel

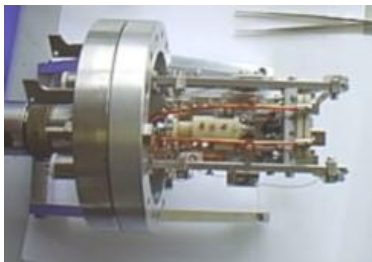


the cell for cleaning a tip by electron bombardment

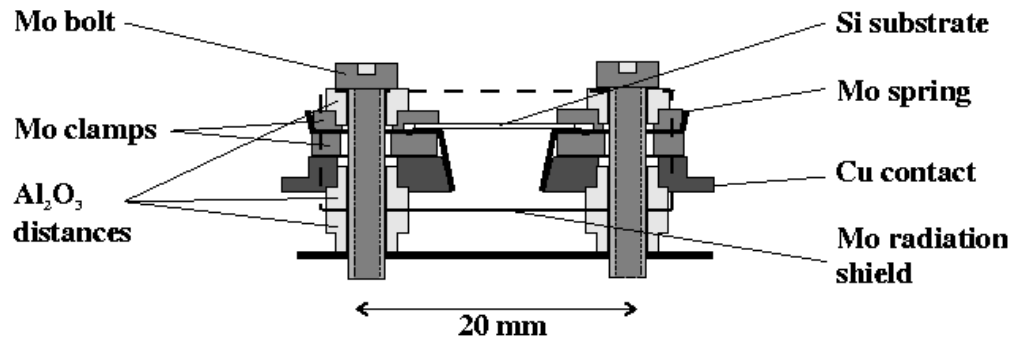


sample position

sample holder



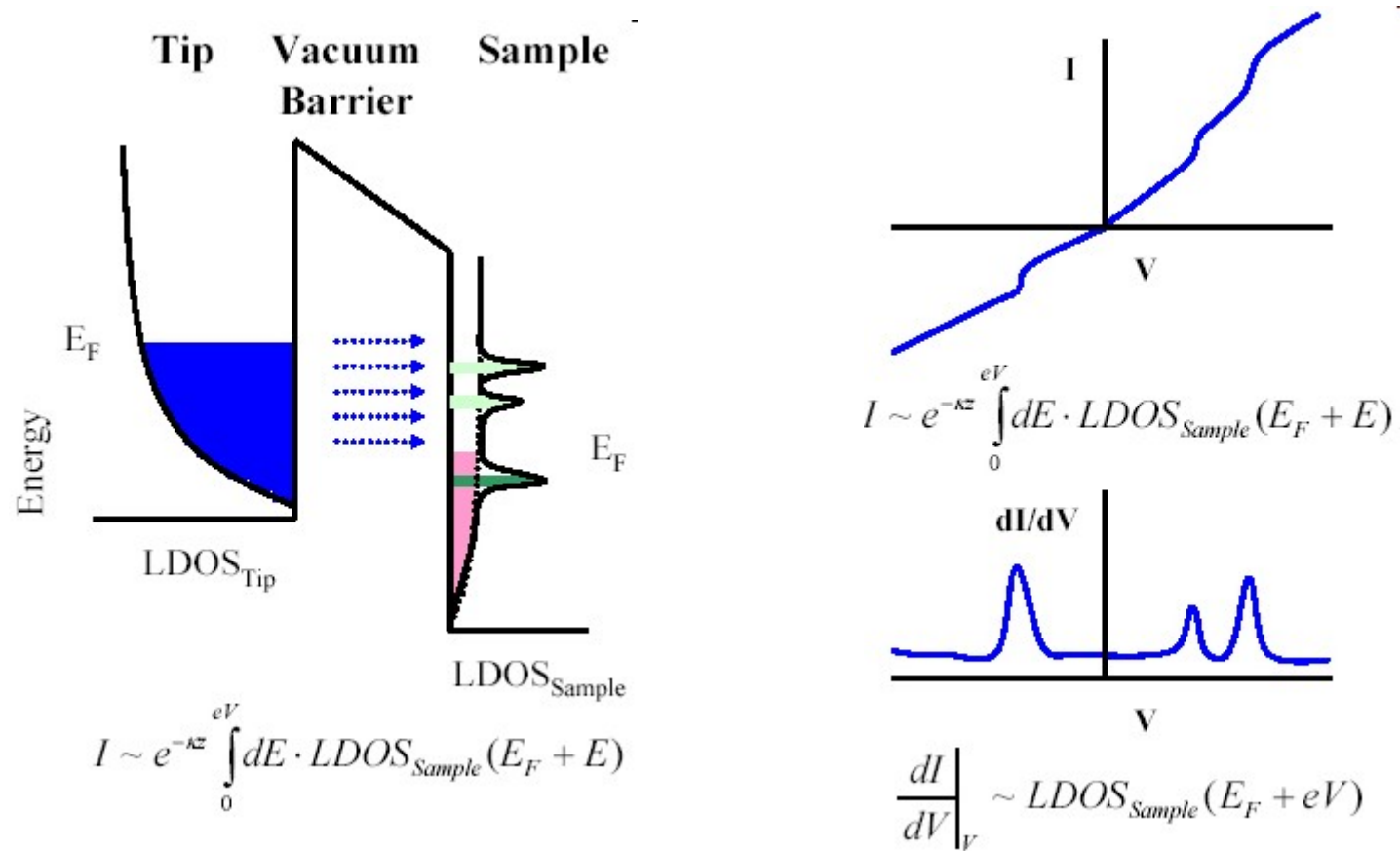
Top view



Řádkovací tunelová spektroskopie

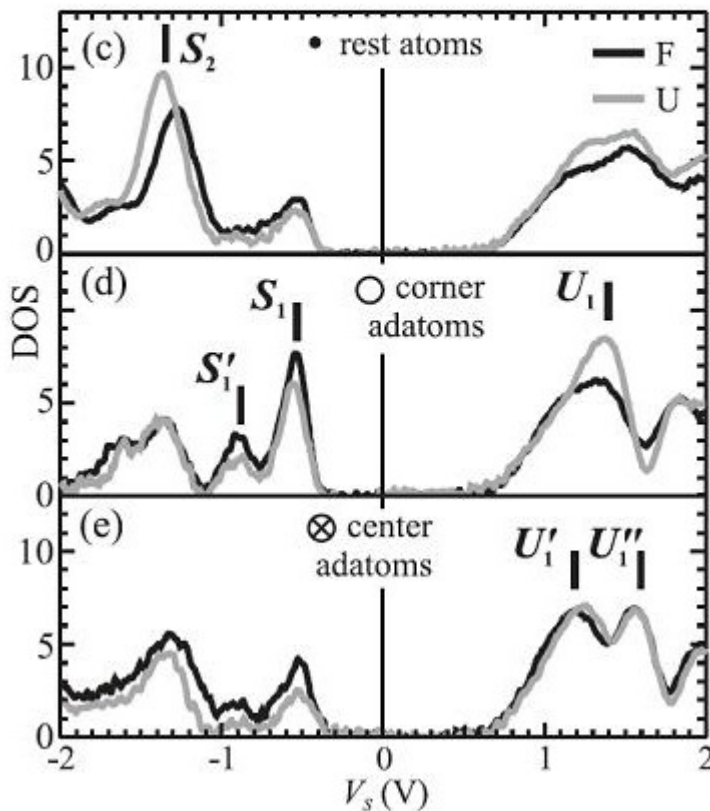
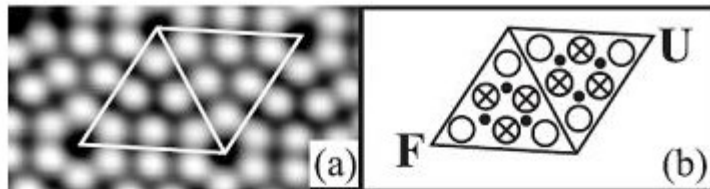
scanning tunneling spectroscopy -  
STS

# Řádkovací tunelová spektroskopie - princip

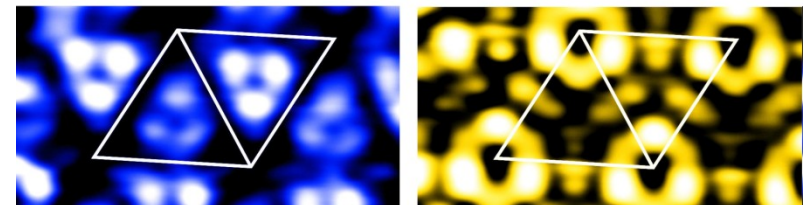
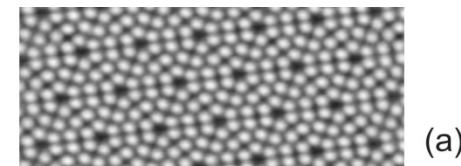




# Řádkovací tunelová spektroskopie - příklad

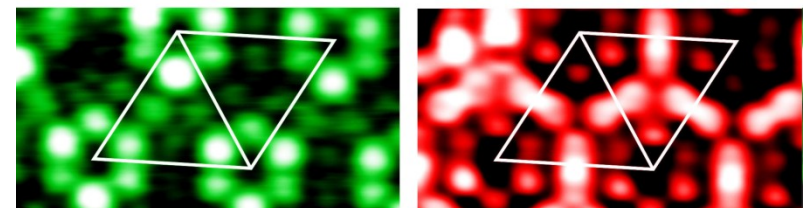


## Spectroscopic imaging



(b)  $V = -1.3V$

(c)  $V = -0.5V$



(d)  $V = 1.4V$

(e)  $V = 1.6V$

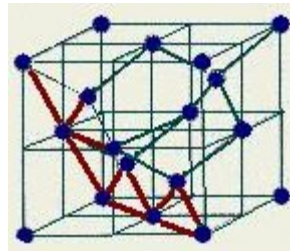
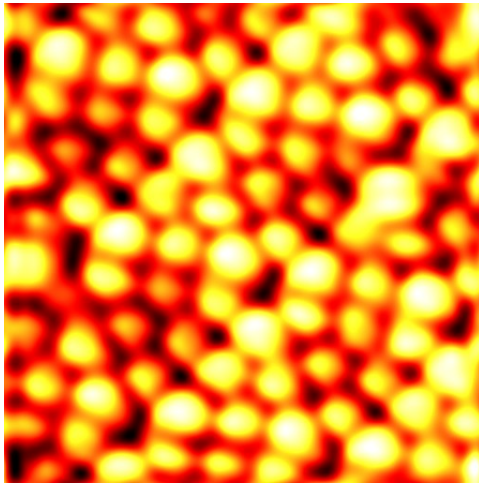
STM – co lze pozorovat - příklady

# Co lze pozorovat...

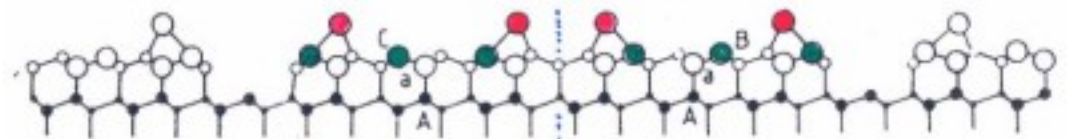
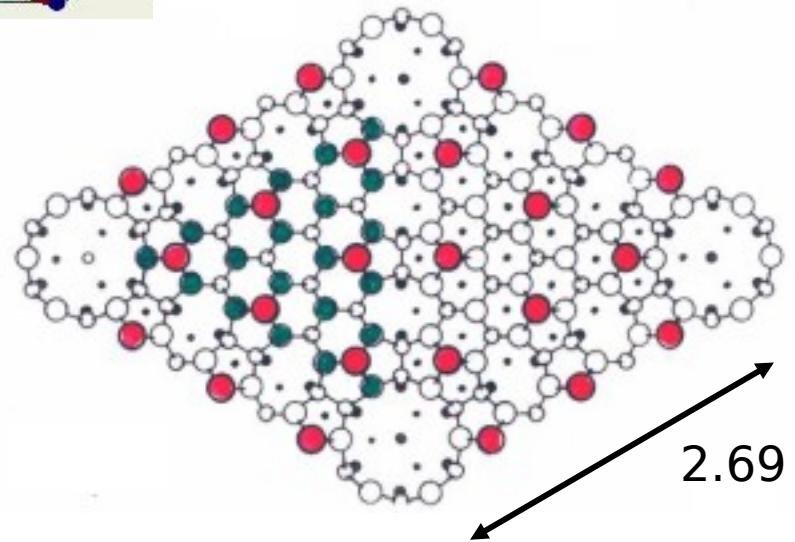
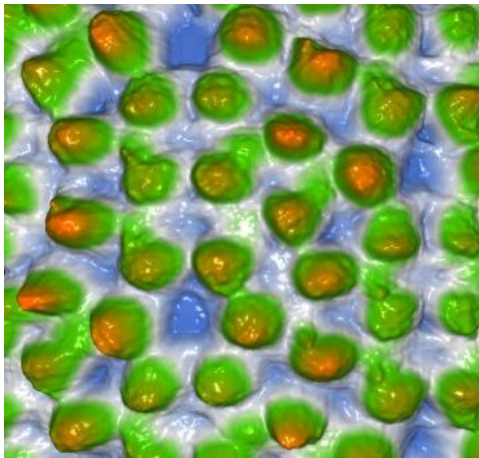
- ... atomární strukturu
- ... pohyb atomů po povrchu
- ... reakce atomů
- ... růst objektů s malou dimenzí (kvantové tečky, dráty a spol.)
- ... fázové přechody
- ... kvantové jevy

# Povrch Si (111)7x7

STM

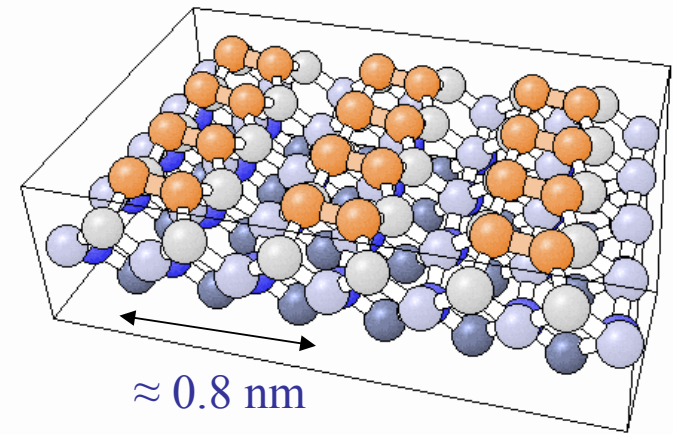
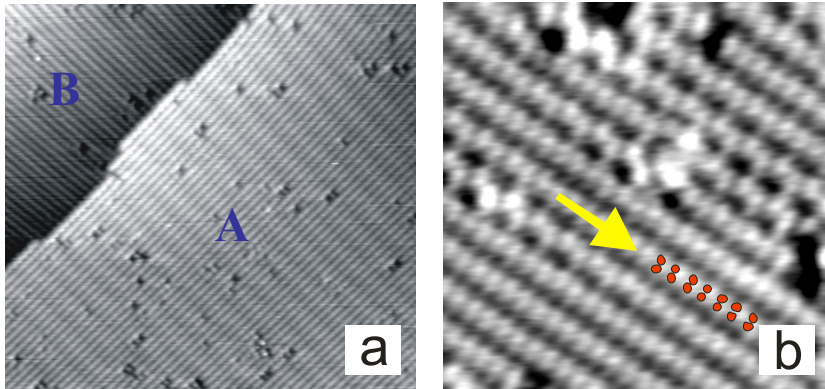


AFM



# Surface Si(100) 2x1

STM imaging

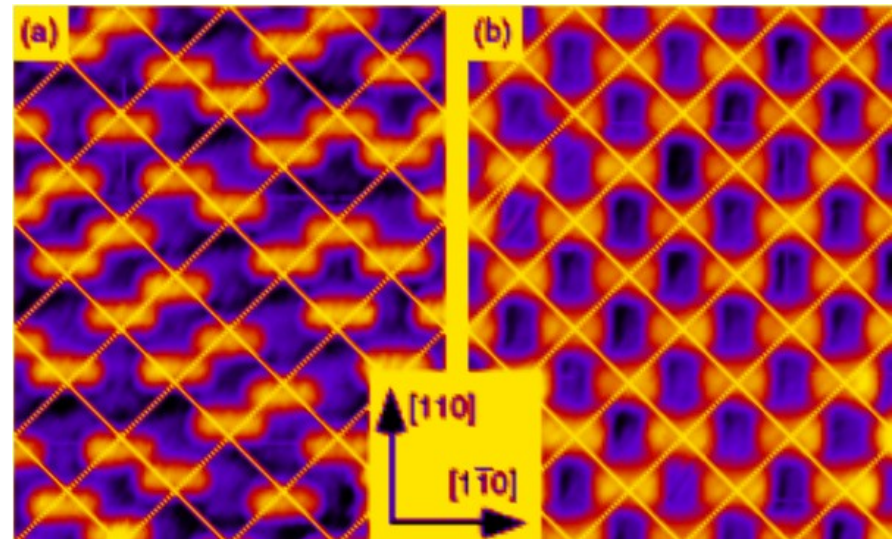
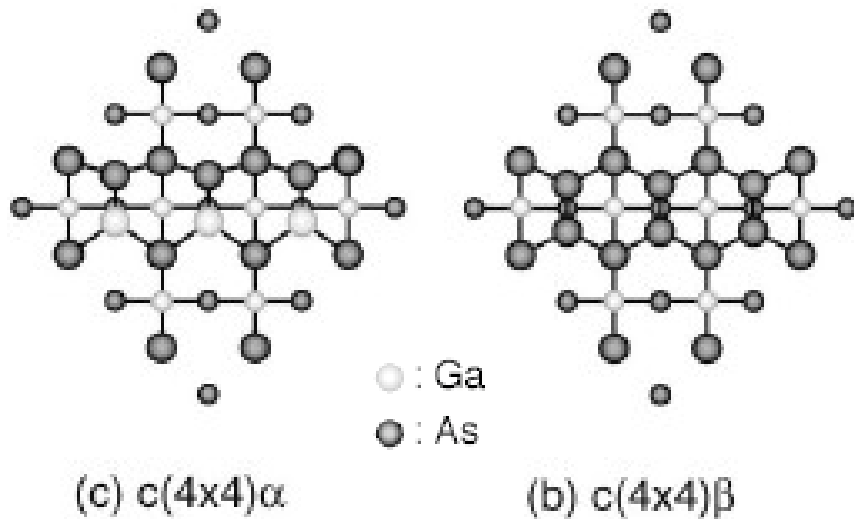


a) empty state image

b) filled state image (defects of various types visible)

# GaAs (100)

GaAs – polovodič budoucnosti :)



6,4 nm x 8,0 nm **napětí na hrotu ~ 3V**  
**- zobrazuje As atomy**



# Adsorpce kovů na Si površích povrchová rekonstrukce - předloha pro růst nanostruktur

Si(111)-(7×7)

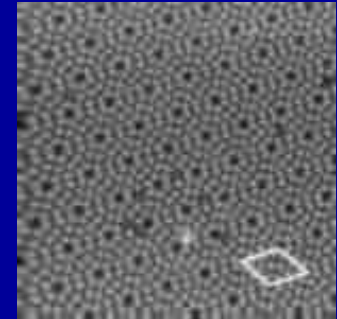
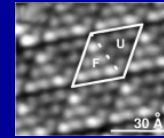
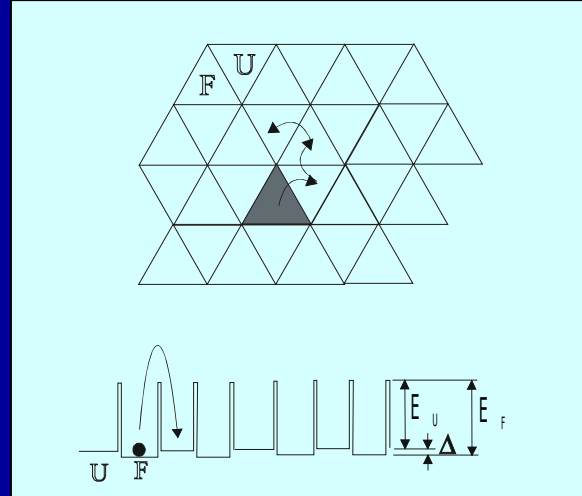
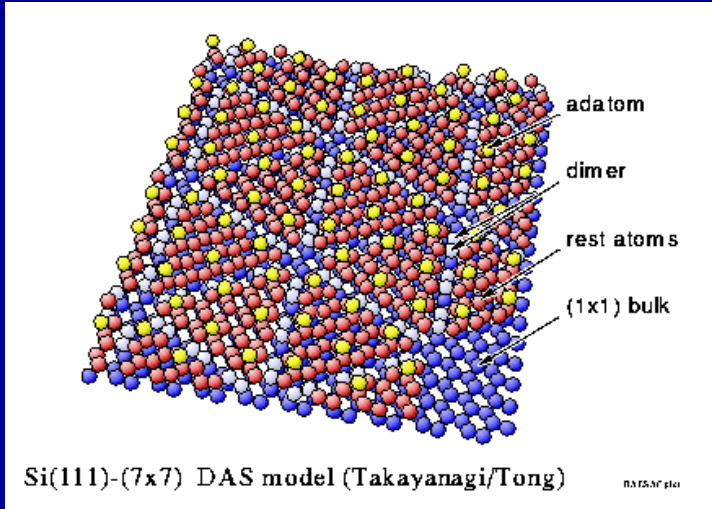
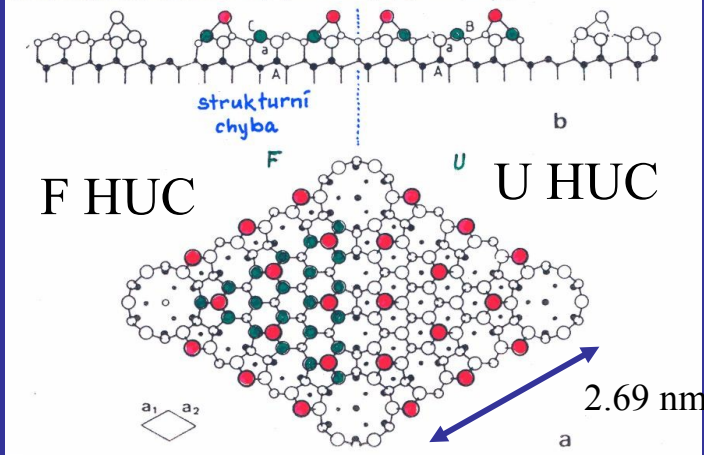
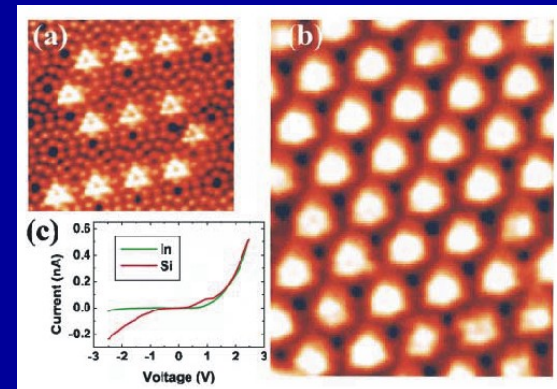


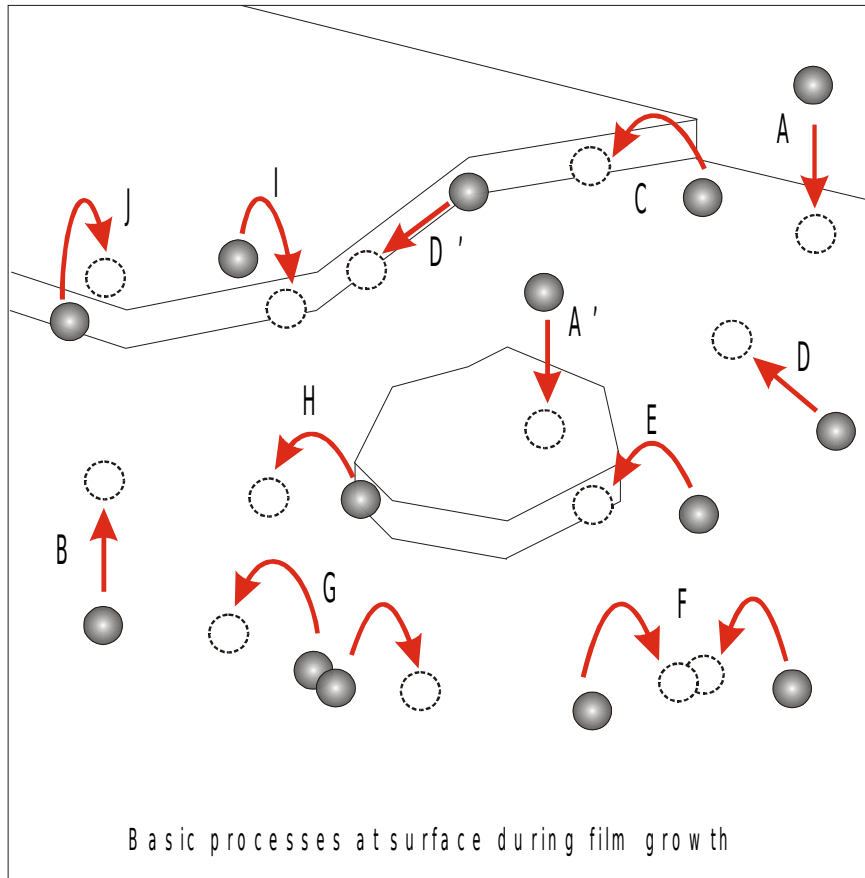
FIG. 30. DAS model of the Si(111)(7 × 7) surface. (a) Top view. Atoms on (111) layers at decreasing heights are indicated by circles of decreasing sizes. (b) Side view. Large open and solid circles indicate atoms on the  $(\bar{1}01)$  plane through the long diagonal across the corner holes. Smaller open and solid circles are atoms on the next  $(101)$  plane. The unfaulted half of the unit cell is on the right-hand side of the image. [After Takayanagi *et al.* (1985).]



In na Si(111)-(7×7)



# Povrchové procesy



A, A' - depozice

B - desorpce

C – připojení ke schodu

D - diffuse

D' - diffuse podél schodu

E – připojení k ostrůvku

F – vznik nového zárnodku

G – rozpad nestabilního zárnodku

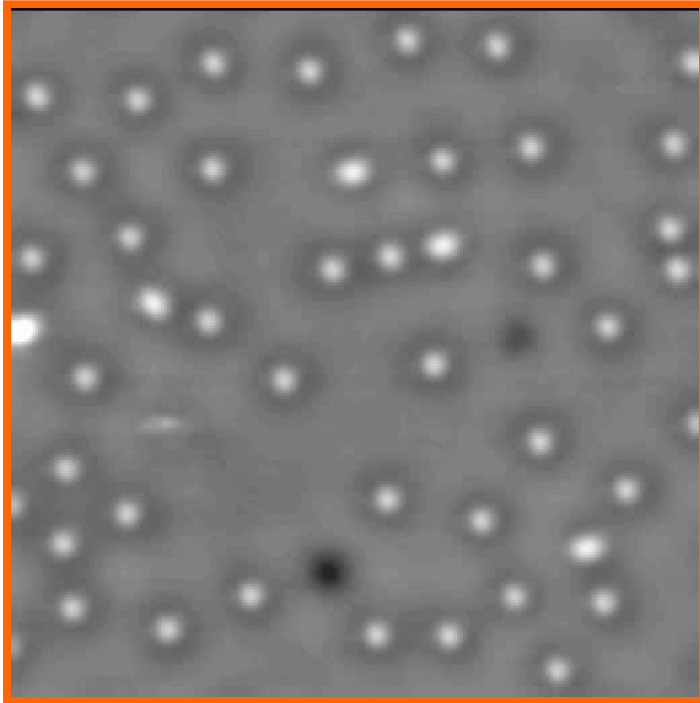
H – odpojení atomu od ostrůvku

I – přeskok atomu ze schodu dolů

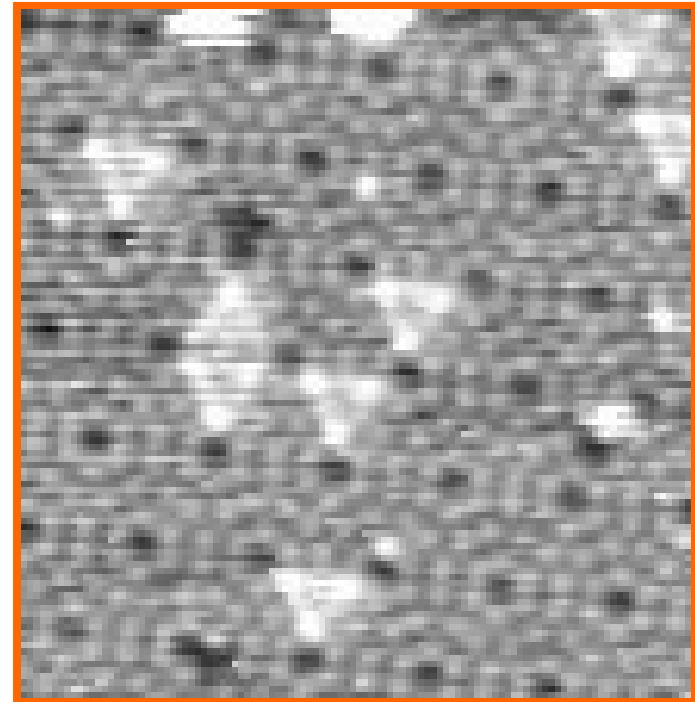
J – skok atomu nahoru na schod

# ...atomární difuze

Atomy a páry atomů Cu  
na Ag(111),  $T = 16$  K

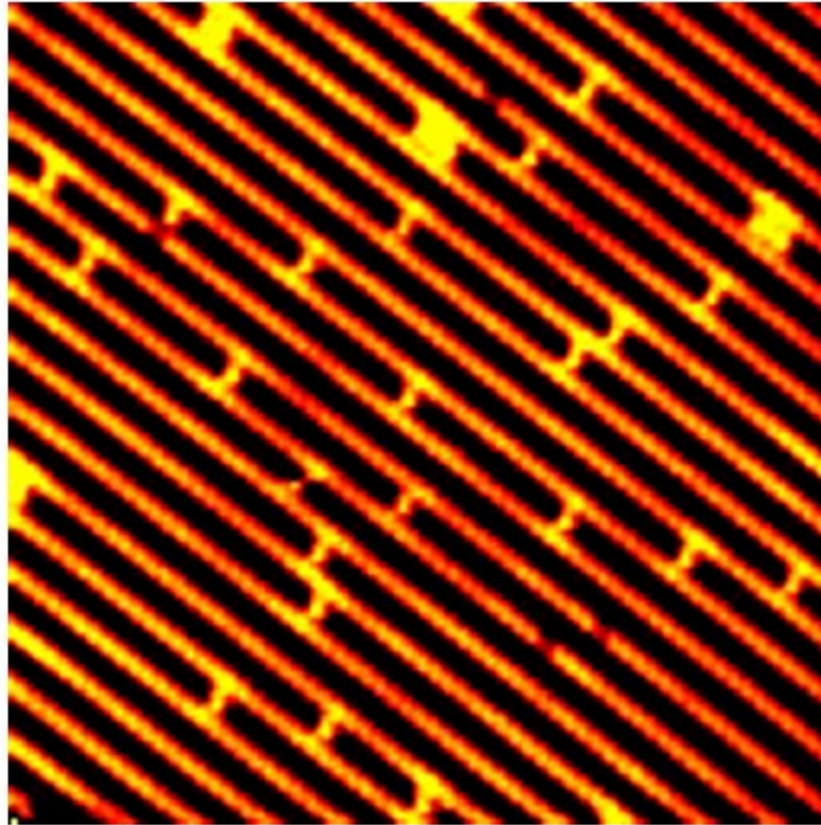


Atomy Ag na Si(111)  
 $T = 40$  °C



Phys. Rev. Lett.. 93 (2004) 056102

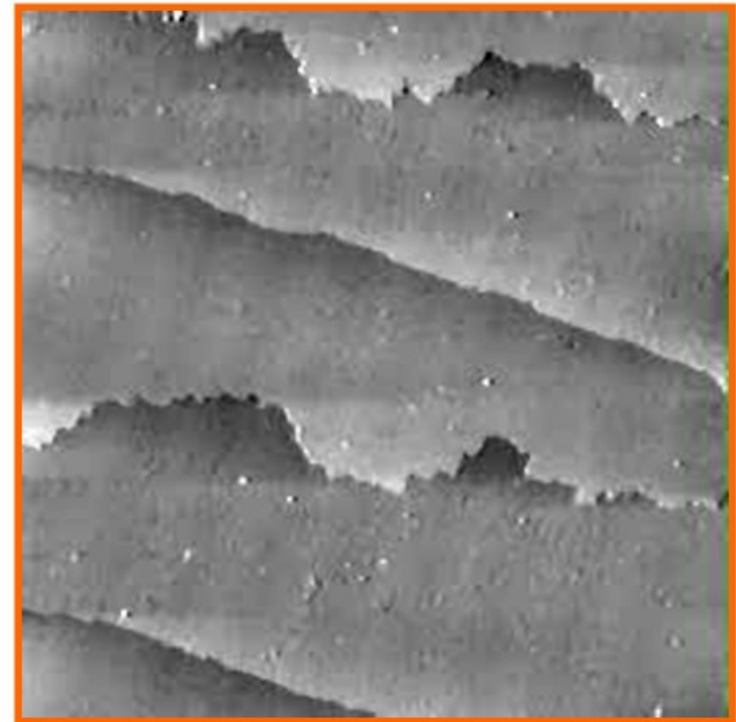
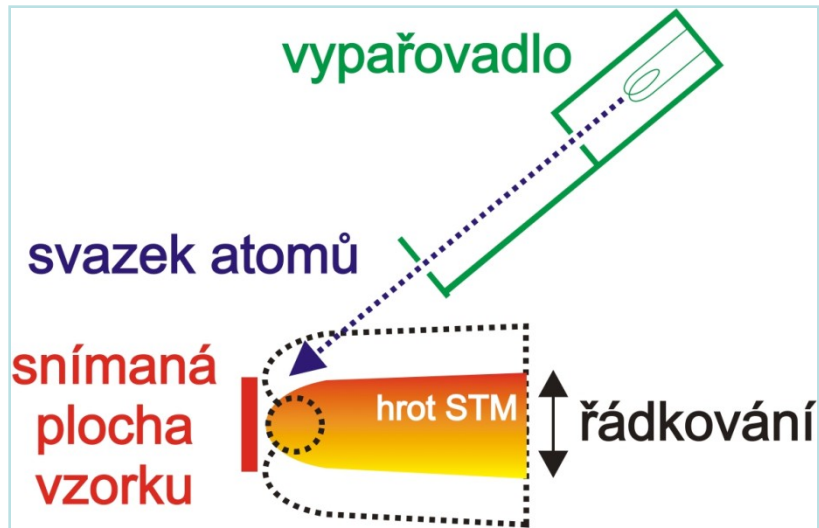
# Pt atoms na Pt(110)



Aarhus Universitet

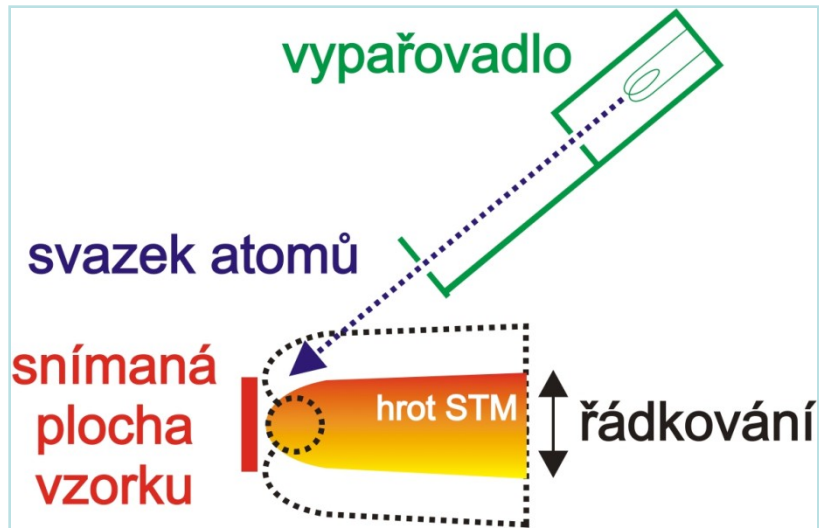
# Růst objektů s malou dimenzí – růst krystalu

růst Si(100) krystalu

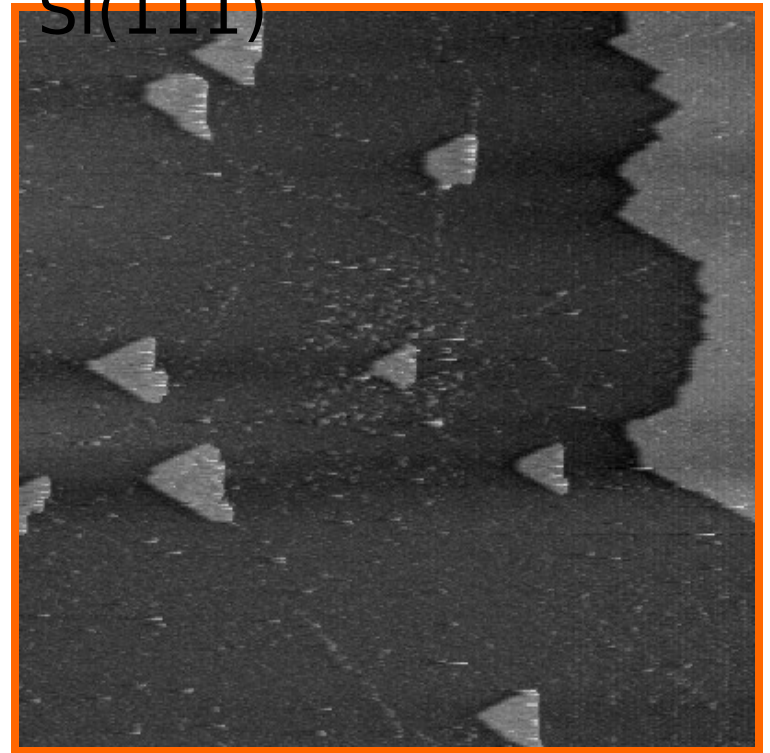




# Růst objektů s malou dimenzí – růst krystalu



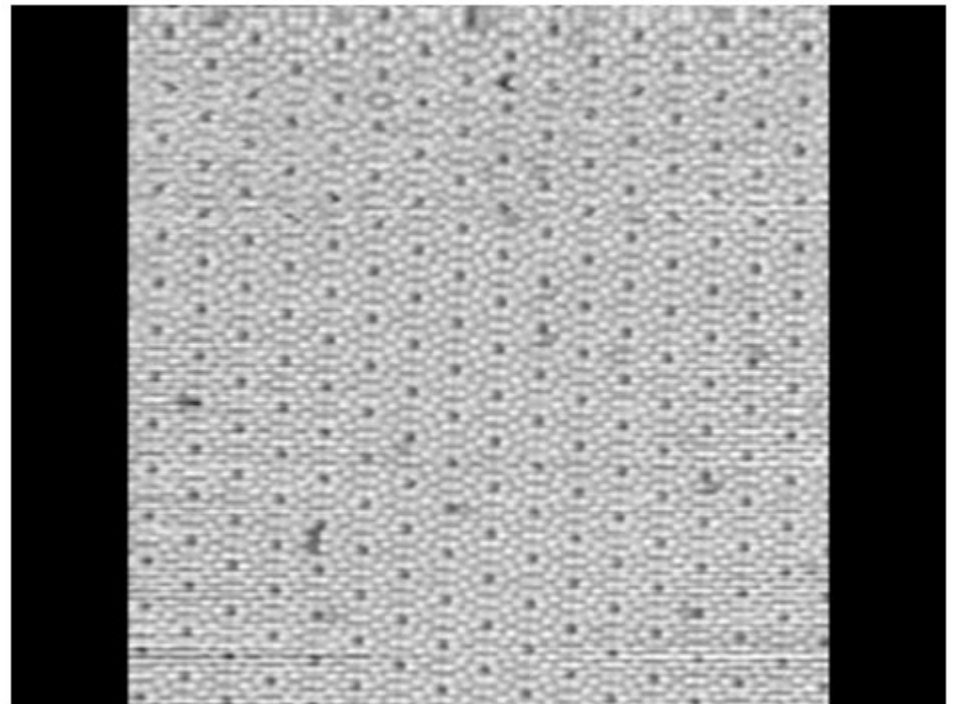
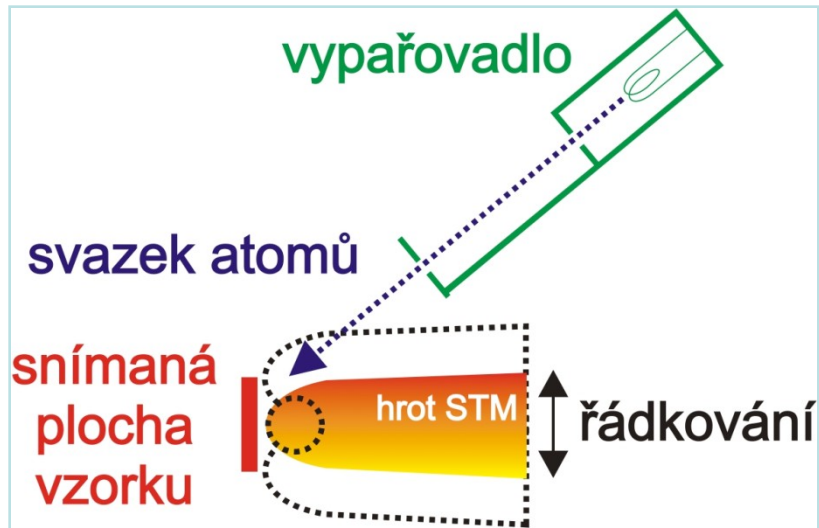
růst Ge vrstvy na  
Si(111)





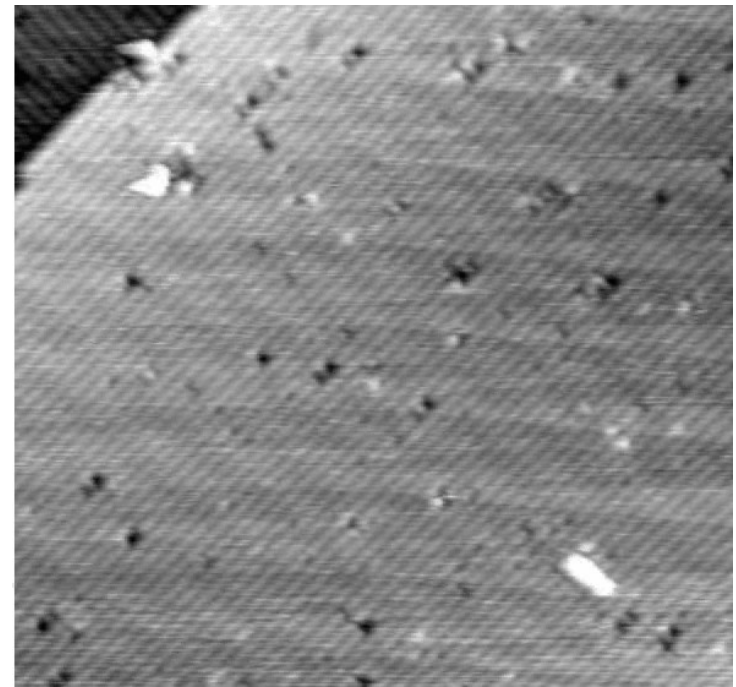
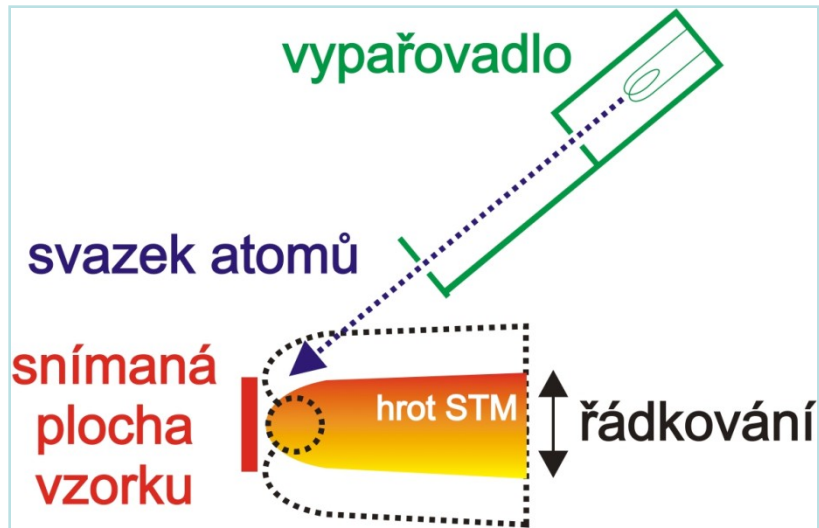
# Růst objektů s malou dimenzí – růst krystalu

růst Ag kvantových teček na  
Si(111) - vznik umělého 2D krystalu



# Růst objektů s malou dimenzí – růst kvantových drátů

růst In kvantových drátů na Si(100)



# jsme omezeni na povrch?

STM omezeně „vidí“ i pod povrch  
příklad: Mn dopanty v GaAs

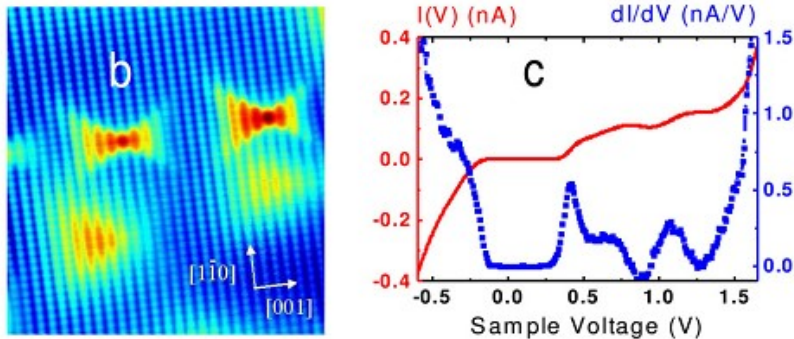


FIG. 1 (color online). (a) Mosaic of three overlapping topographical images measured at  $T = 77$  K, on a (110) surface, with sample-to-tip voltage  $V_{st} = +1.7$  V, current  $I_t = 100$  pA. The Be-doped and Mn-doped GaAs layers are clearly identified. The triangular-shaped and butterflylike images correspond to Be and Mn dopants, respectively. (b) Atomic-resolution image ( $V_{st} = 1$  V,  $I_t = 100$  pA) showing a few impurity states. (c) Typical  $I_t(V_{st})$  and  $dI_t/dV_{st}$  curves measured at fixed height in the center of a Mn impurity image.

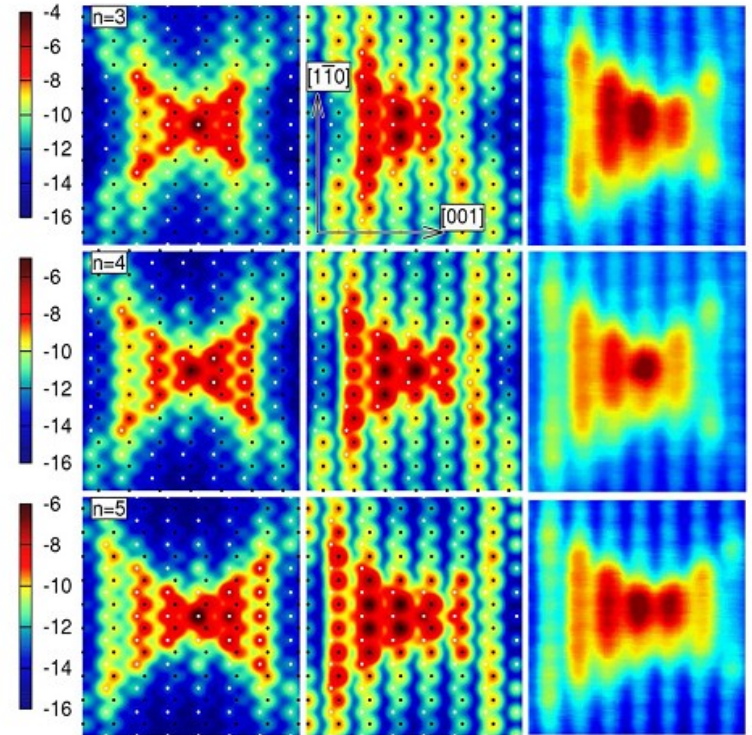
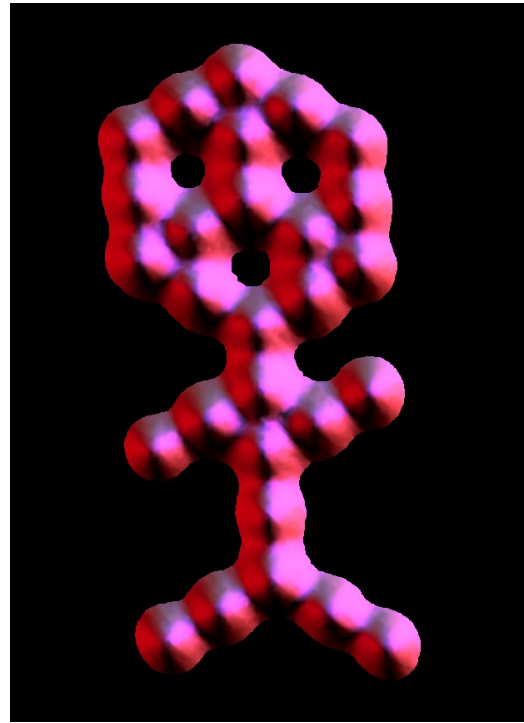
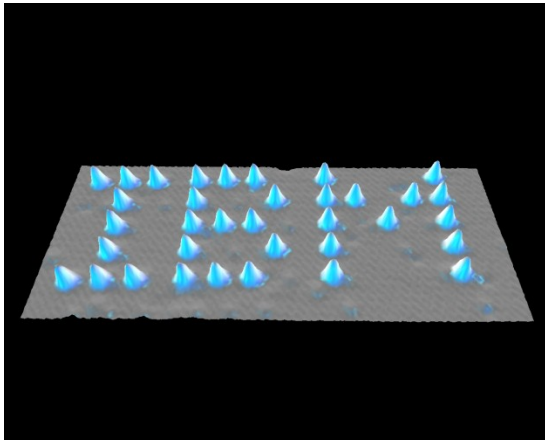


FIG. 4 (color online). Bulk impurity cross section (BICS) (left), simulated STM images (SSTM) (center), and experimental STM images (right) of a Mn neutral acceptor located  $n$  monolayers ( $n = 3$  to  $5$ ) below the (110) surface. BICS is calculated in a (110) plane,  $n$  atomic planes away from the impurity, and SSTM 2 Å above the surface. SSTM LDOS is multiplied by  $10^4$  with respect to BICS. As (white) and Ga (black) positions on the surface are indicated.

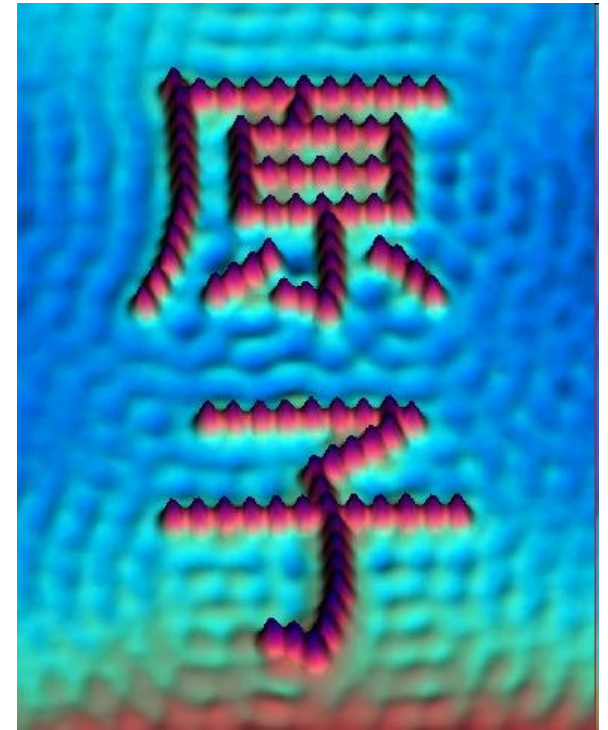
**Manipulace s atomy**

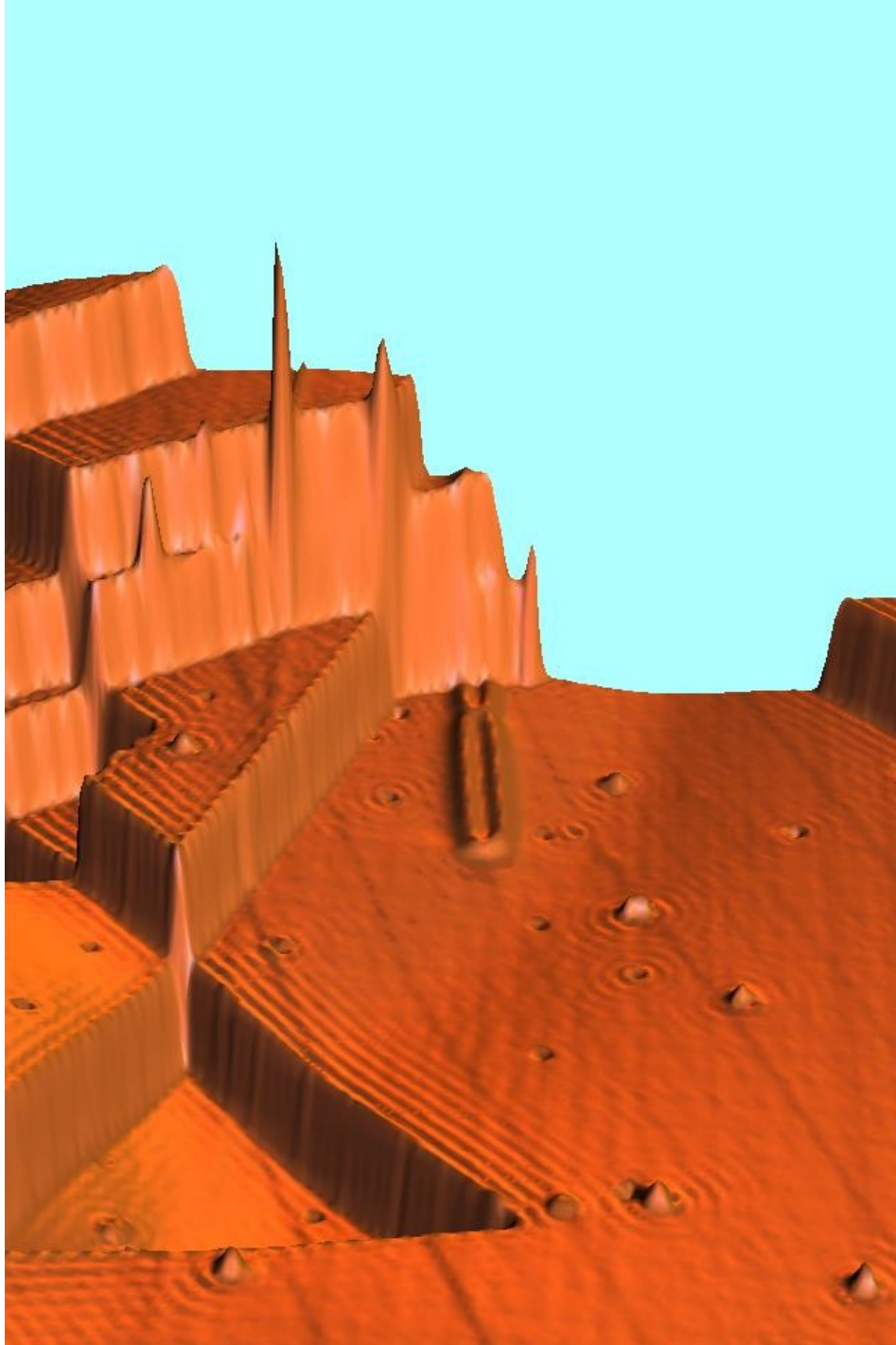


# Manipulating atoms



IBM





## Povrch Cu(111)

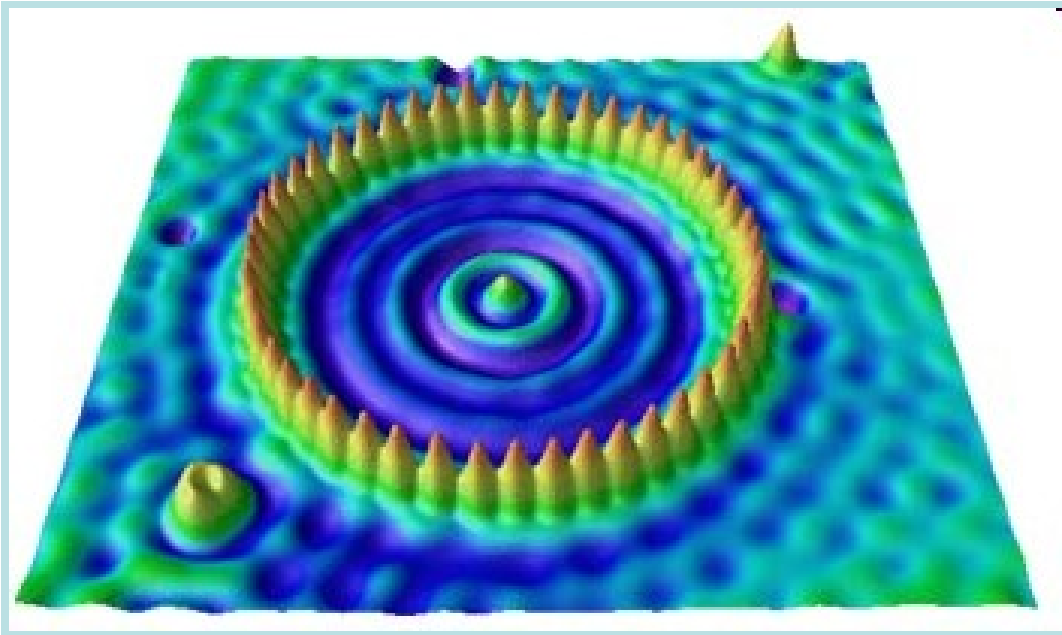
Stojaté vlny ve dvourozměrném (2D)  
„elektronovém plynu“

$\lambda \approx 1.5$  nm ( $\approx 10$  atoms),  
amplituda na hraně schodu  $\approx 0.004$  nm  
 $T \approx 4$  K

© M.F. Crommie, C.P. Lutz, D.M. Eigler,  
*Nature* 363, 524-527 (1993)

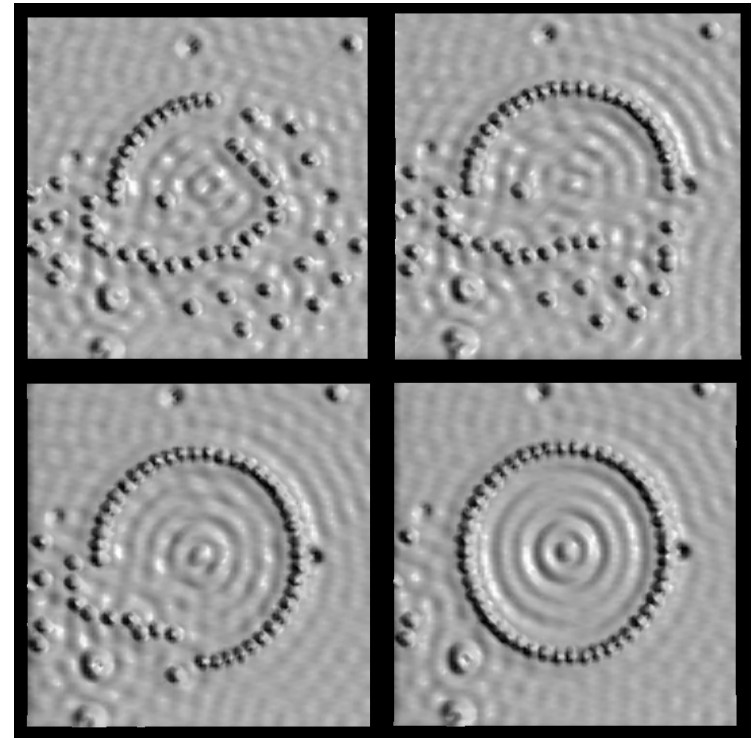


# kvantová ohrádka



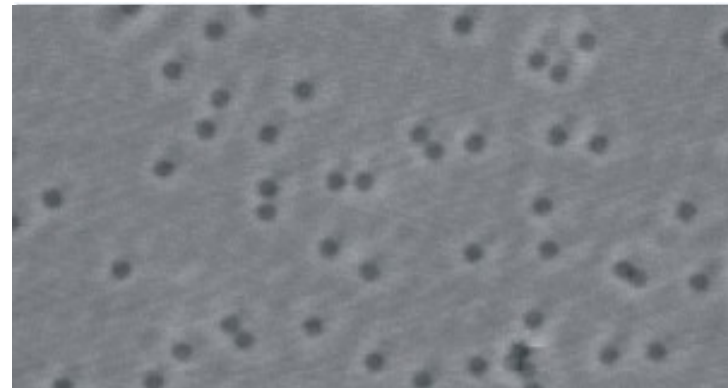
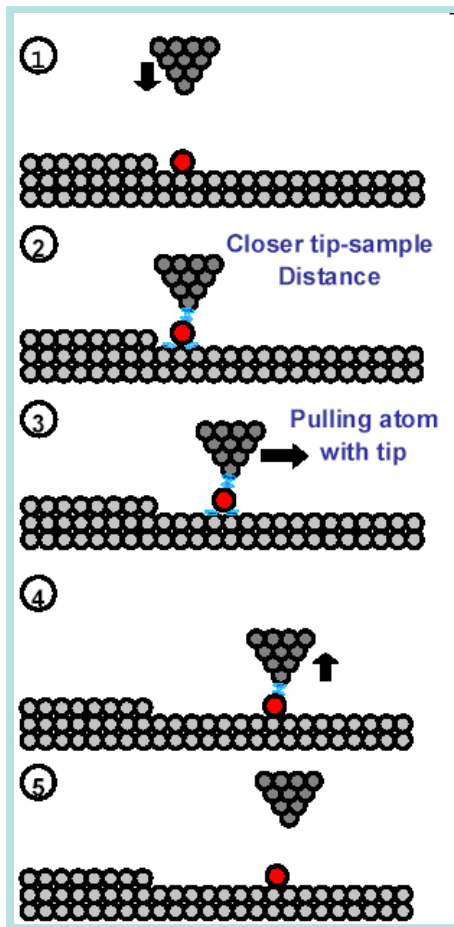
IBM

Vytvořeno atom  
po atomu!

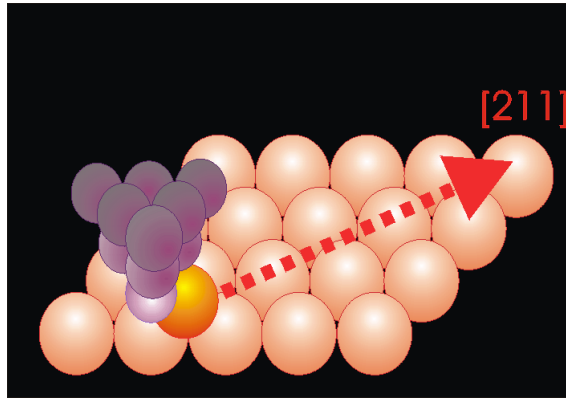


# Manipulace s atomy

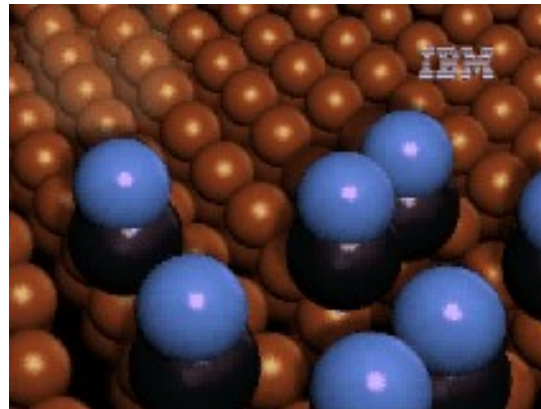
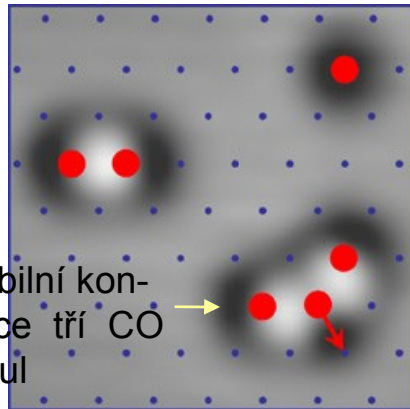
- hrot se přiblíží k atomu tak blízko, aby došlo k interakci
- hrot táhne atom za sebou („pull mode“) nebo tlačí před sebou („push mode“)
- obvykle - nízké teploty (L He)



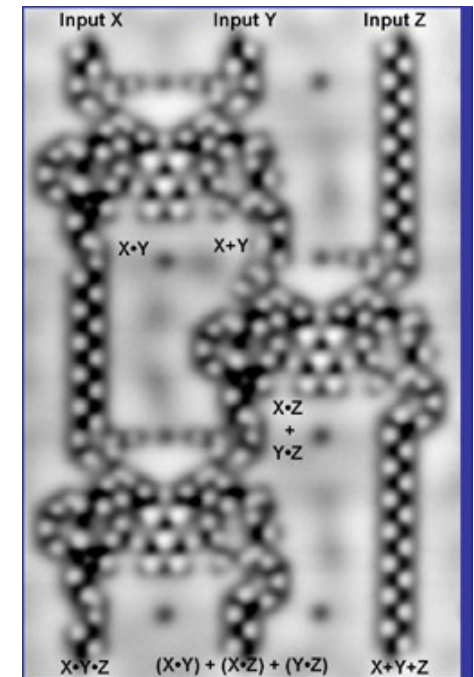
# Manipulace s jednotlivými atomy a molekulami



## Molekulární kaskády – nejmenší aktivní prvky



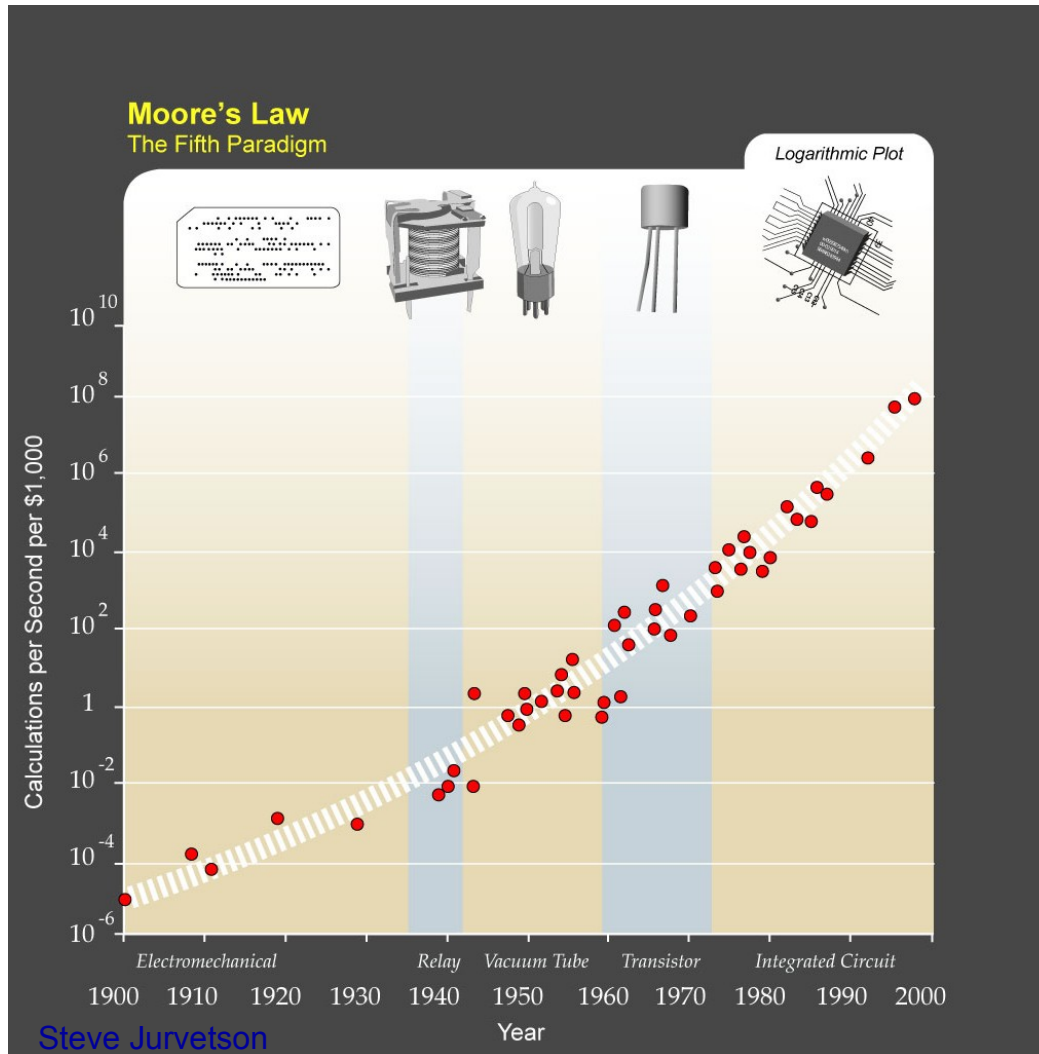
## Realizace 12×17 nm



Díky slabé odpudivé interakci mezi molekulami CO na povrchu Cu(111) lze tři molekuly uspořádat do metastabilní konfigurace. Tato nestabilita uměle vyvolaná na konci molekulární kaskády se může šířit na „velké“ vzdálenosti.

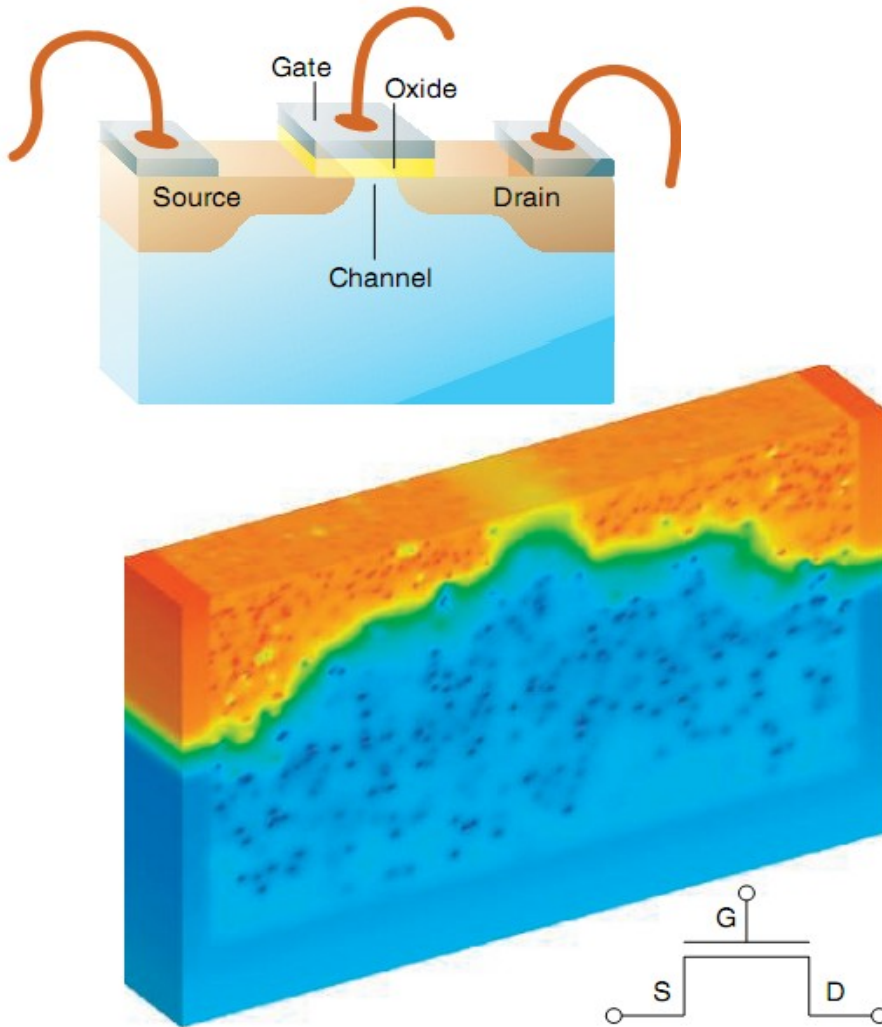
# Odbočka – Mooreův zákon

Mooreův zákon (1965!) - „složítost součástek roste s časem exponenciálně při zachování stejné ceny.“  
(Gordon Moore – spoluzakladatel firmy Intel)



**Jak dlouho bude  
Mooreův zákon platit?**

# Význam dopantů

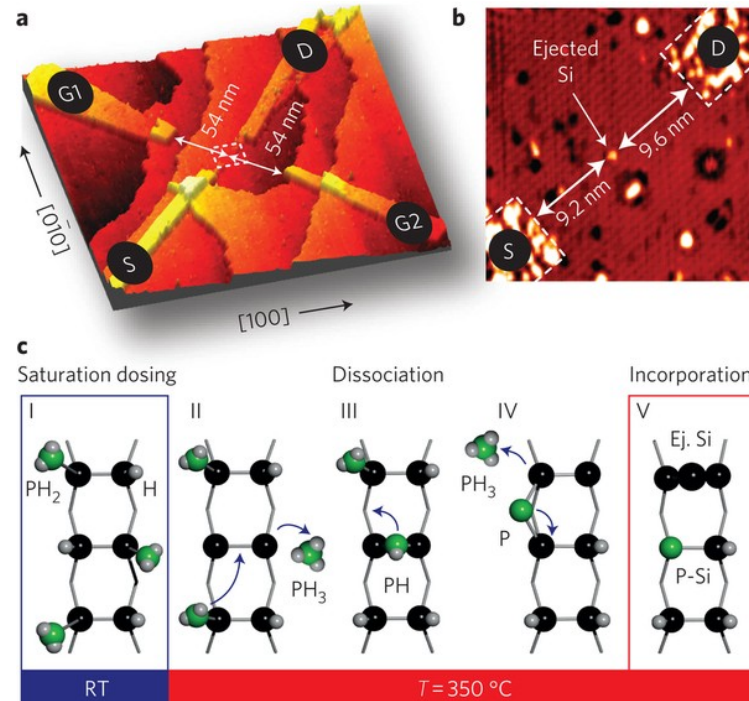
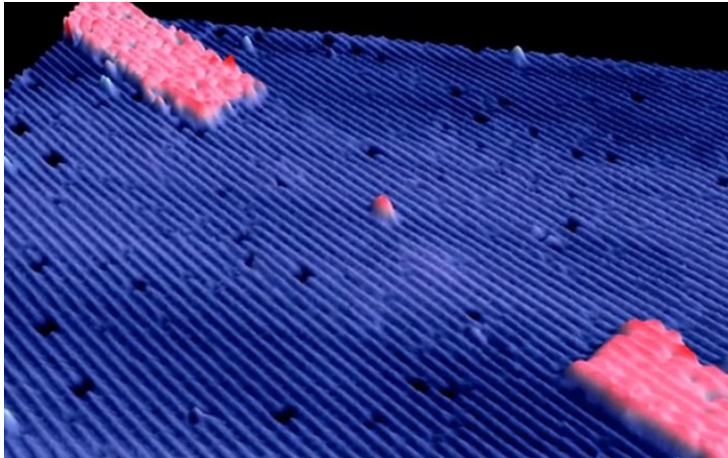


3D simulace FETu (field effect transistor) 30x30nm s náhodně rozmístěnými dopanty, barva odpovídá elstat. potenciálů (červená 1 V, modrá 0 V). Fluktuaace vlivem dopantů ovlivňují funkci FETu

**se zmenšováním polovodičových součástek začíná být každý jednotlivý dopant důležitý!**



# Single atom transistor



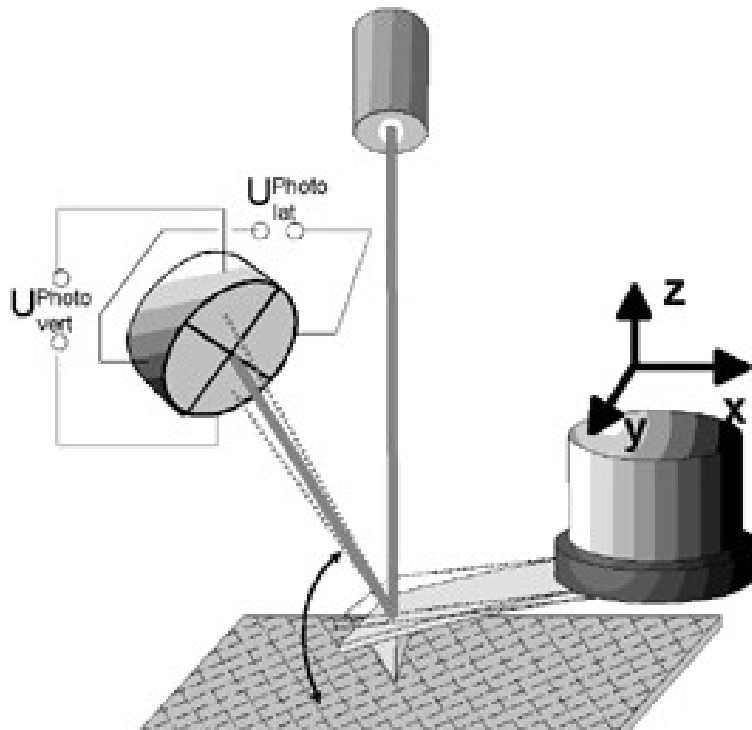


Mikroskopie atomárních sil

atomic force microscopy - AFM

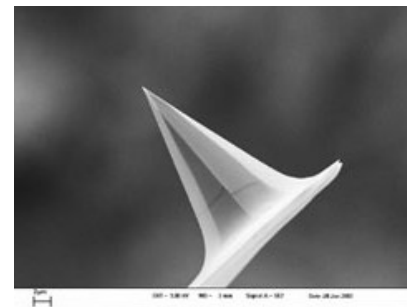
# Mikroskopie atomárních sil

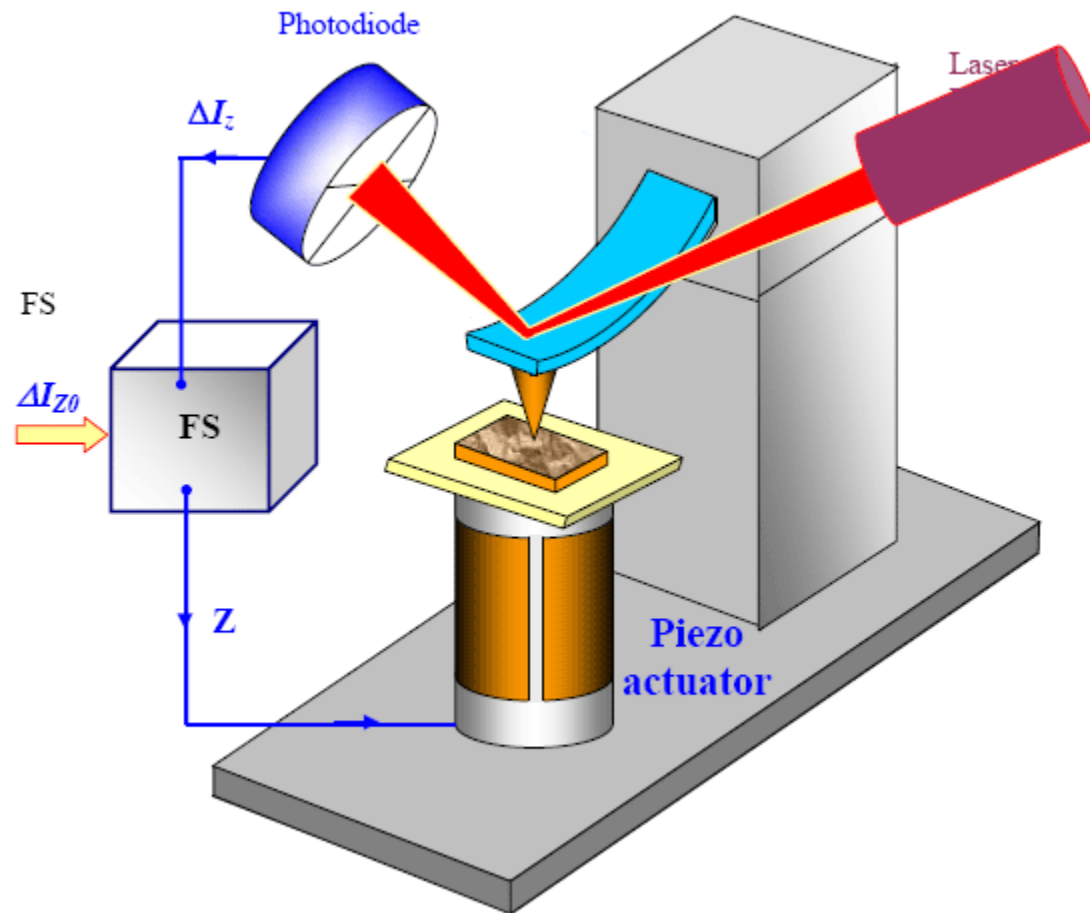
= AFM (Atomic Force Microscope)



<http://www.nanocraft.de>

- princip podobný jako u STM
- místo tunelového proudu se využívá atomárních sil
- např. pomocí laserového paprsku se měří náklon raménka s hrotem

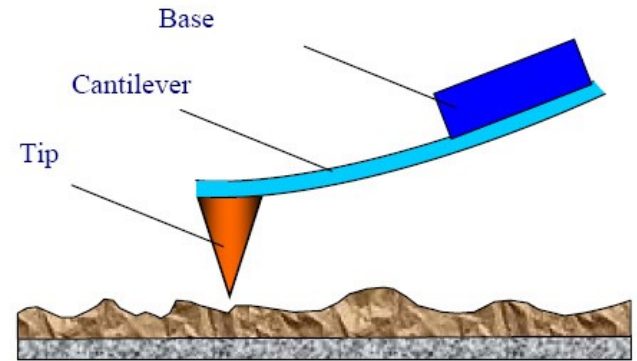
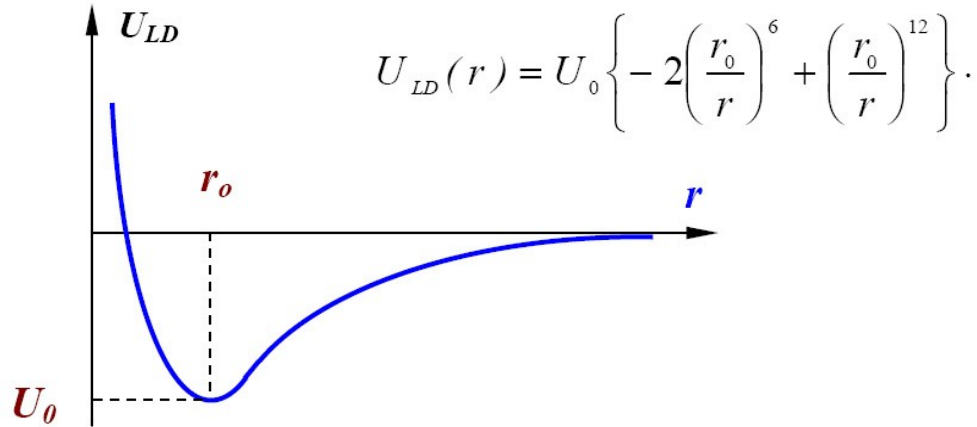




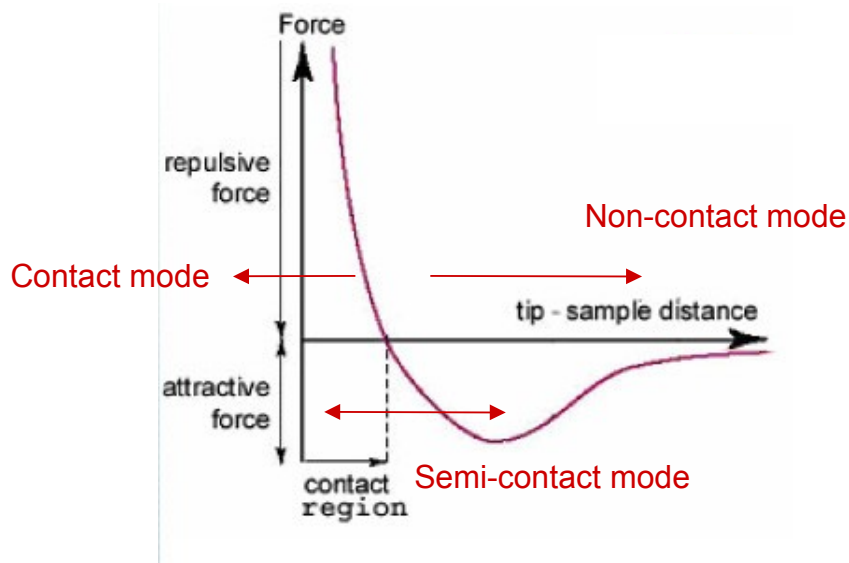
Princip AFM

# ➤ Atomic force microscopy (AFM)

## Physical principles:



Lennard-Jones potential qualitative form



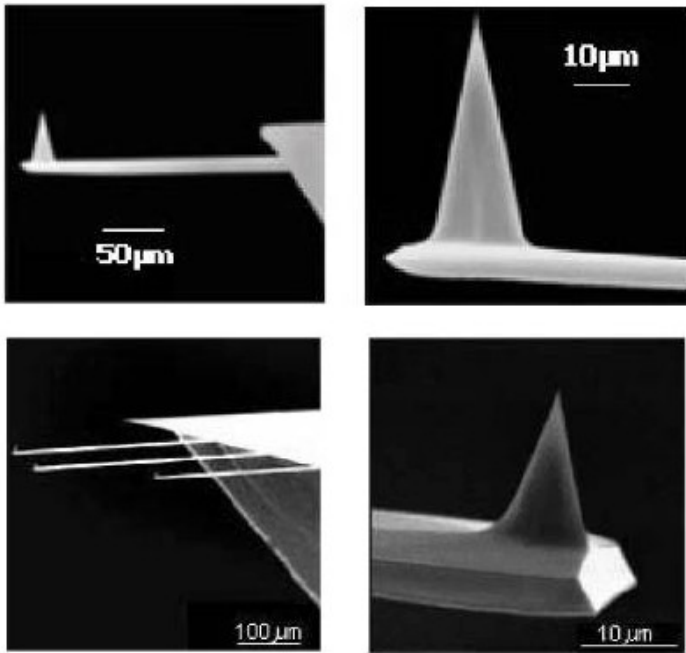


Fig. 68. SEM images of AFM tips on rectangular cantilevers [54]

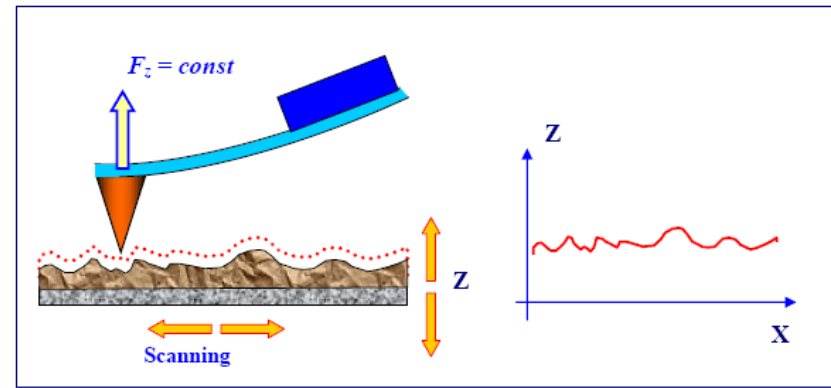


Fig. 72. AFM image acquisition at constant force

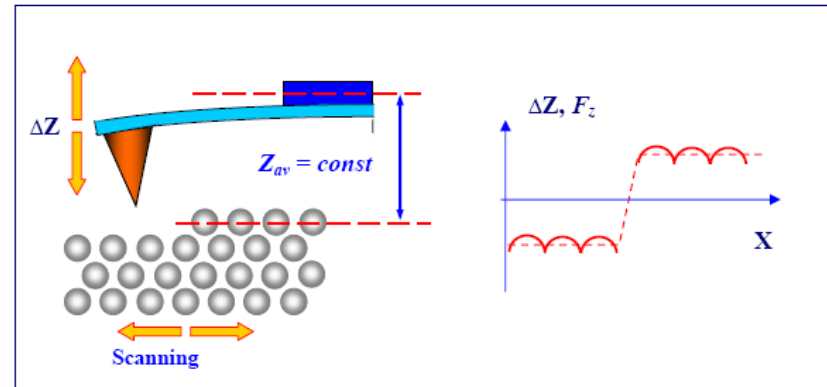
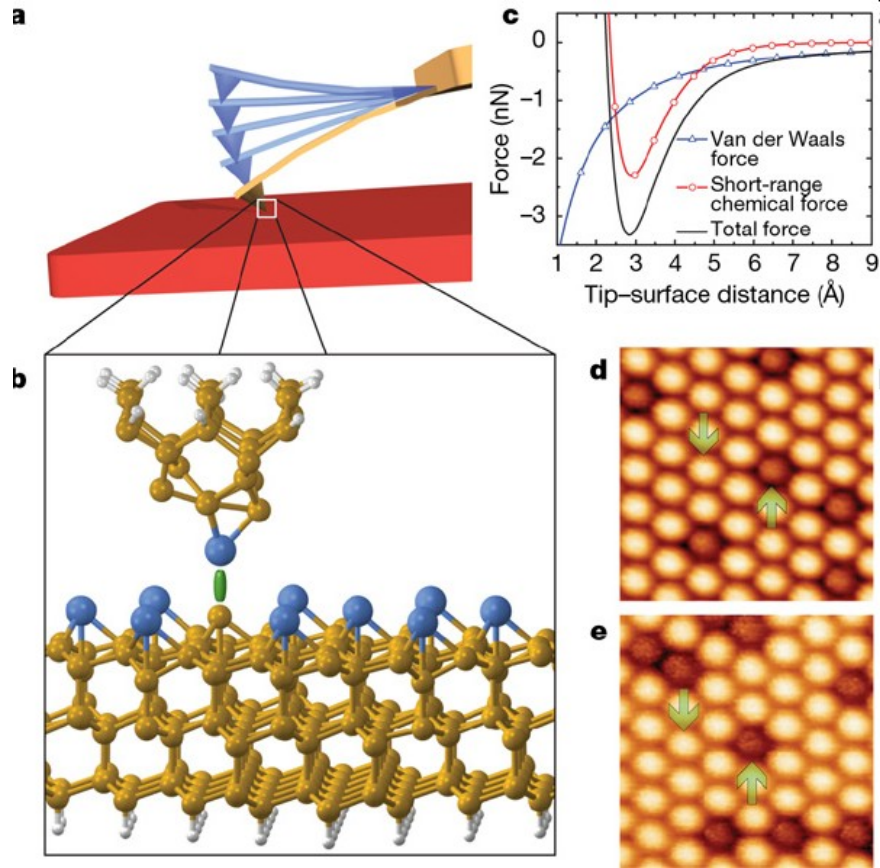


Fig. 73. AFM image acquisition at constant average distance (constant height)



# AFM v dynamickém modu

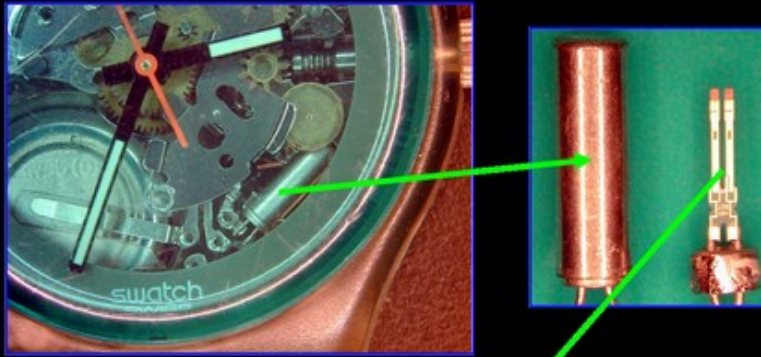
Schematic illustration of AFM operation in dynamic mode (a), and of the onset of the chemical bonding between the outermost tip atom and a surface atom (highlighted by the green stick) that gives rise to the atomic contrast<sup>14, 15</sup> (b). However, the tip experiences not only the short-range force associated with this chemical interaction, but also long-range force contributions that arise from van der Waals and electrostatic interactions between tip and surface (though the effect of the latter is usually minimized through appropriate choice of the experimental set-up). c, Curves obtained with analytical expressions for the van der Waals force, the short-range chemical interaction force, and the total force to illustrate their dependence on the absolute tip–surface distance. d–e, Dynamic force microscopy topographic images of a single-atomic layer of Sn (d) and Pb (e) grown, respectively, over a Si(111) substrate. At these surfaces, a small concentration of substitutional Si defects, characterized by a diminished topographic contrast<sup>20</sup>, is usually found.



Nature 446, 64-67 (2007)

# tuning fork AFM

## Our design: The STM / AFM

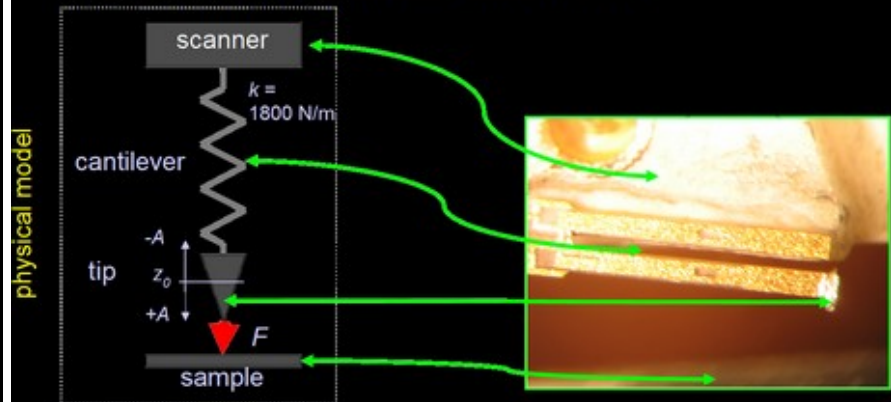


- qPlus sensor
- Piezo sensing of the cantilever motion
- UHV operation and sample preparation
- 6 K operation temperature
- cooled preamp



cantilever  
tip

## The STM / AFM force detection



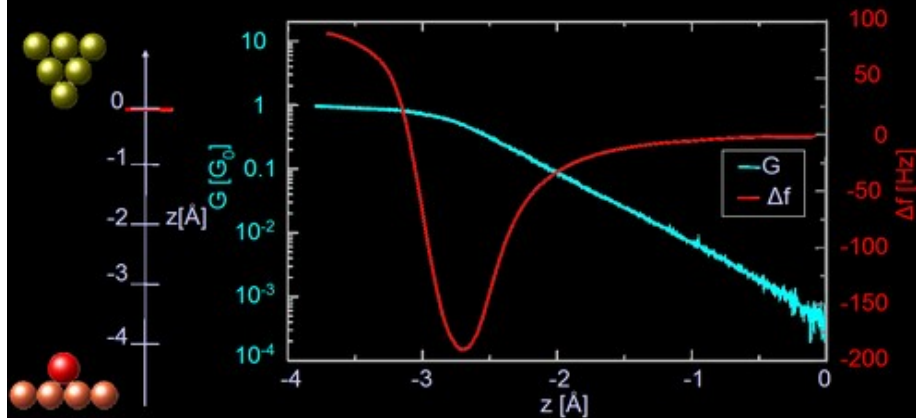
$$f_0 = \frac{1}{2\pi} \sqrt{\frac{k}{m}}$$

free oscillation

$$f_0 = \frac{1}{2\pi} \sqrt{\frac{k + \langle \frac{\partial F}{\partial z} \rangle}{m}}$$

oscillation in a force gradient:  $\Delta f \approx f_0 / 2k_0 \times k_z$

## Simultaneous $G(z)$ and $\Delta f(z)$ measurement

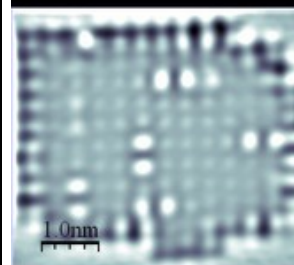
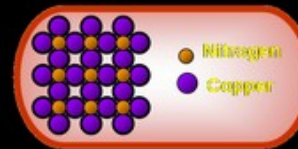


- Co on Pt (111);  $V = 1\text{mV}$
- tiny oscillation Amplitude of  $0.25\text{Å}$
- allows combined AFM/STM measurements

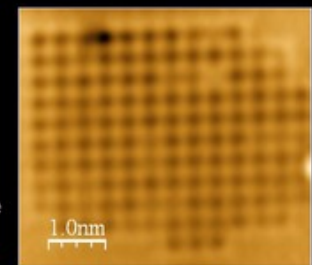
© IBM

## Force images and atomic resolution:

example:  $\text{Cu}_2\text{N}$  surface



current image

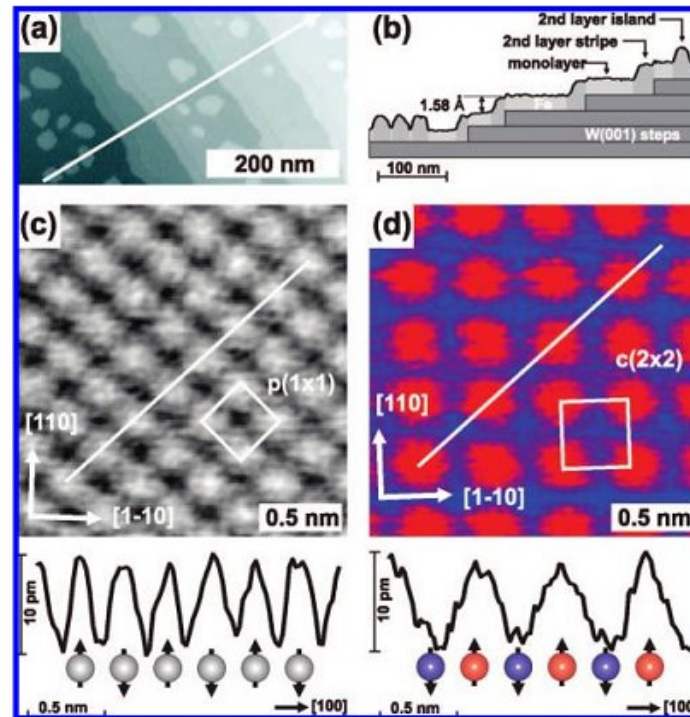


force image

1.0nm

1.0nm

# Příklad MEFM (magnetic exchange force microscopy)



**Figure 1.** (a) Atomic force microscopy topography image of about 1.3 atomic layers of Fe deposited on W(001). (b) Line section showing substrate steps and areas covered by one and two atomic layers of Fe. (c) Atomic resolution on the Fe monolayer displaying the  $p(1 \times 1)$  structural and chemical surface unit cell ( $\Delta f = -28.5$  Hz). Protrusions represent the positions of Fe atoms. The corrugation amplitude is about 10 pm; cf. line section. (d) Magnetic exchange force microscopy image of the  $c(2 \times 2)$  antiferromagnetic surface unit cell on the Fe ML ( $\Delta f = -14.8$  Hz). Only every second Fe atom appears as a protrusion. The magnetic corrugation amplitude is about 10 pm; cf. line section. Parameters for (c) and (d):  $c_z = 32.5$  N/m,  $A_0 = 5$  nm,  $f_0 = 156$  kHz,  $Q = 24410$ .



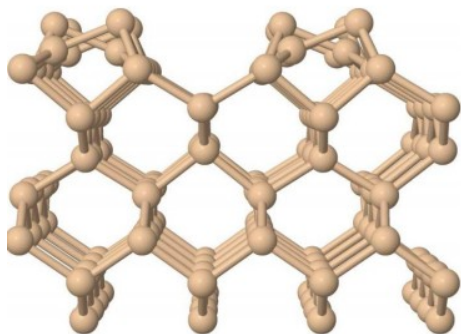
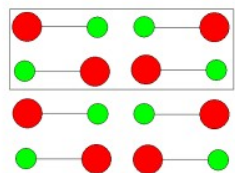
# kombinace STM s jinými technikami

- STM + ab initio výpočty

## STM mapy rekonstrukce $c(4 \times 2)$ – porovnání s experimentem

$c(4 \times 2)$

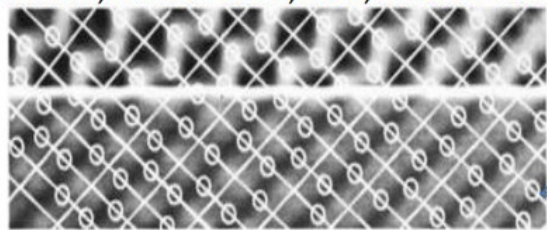
Schematický horní pohled



Boční pohled

Experiment, K. Hata et al., 80 K, metoda konstantního proudu,

[6]:

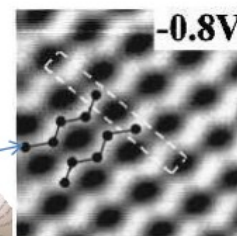


+ 0,6 V

+ 1,5 V

Down atom; Up atom

[7]:



-0.8V

Výpočet, metoda konstantní výšky 5Å:

Down atom ●

Up atom ●

STM simulace

+ 0,5 V

STM simulace

+ 1,5 V

STM simulace

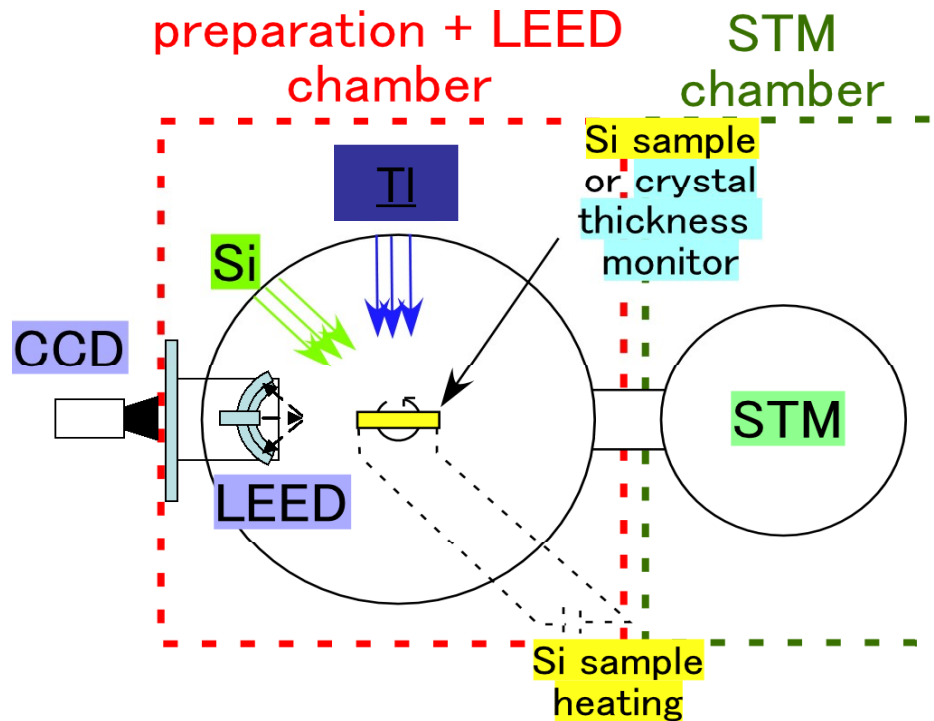
- 1,0 V

[6] K. Hata et al., Phys. Rev. B. 64 (2001) 235310.;

[7] K. Hata et al., Phys. Rev. B. 60 (1999) 8164.

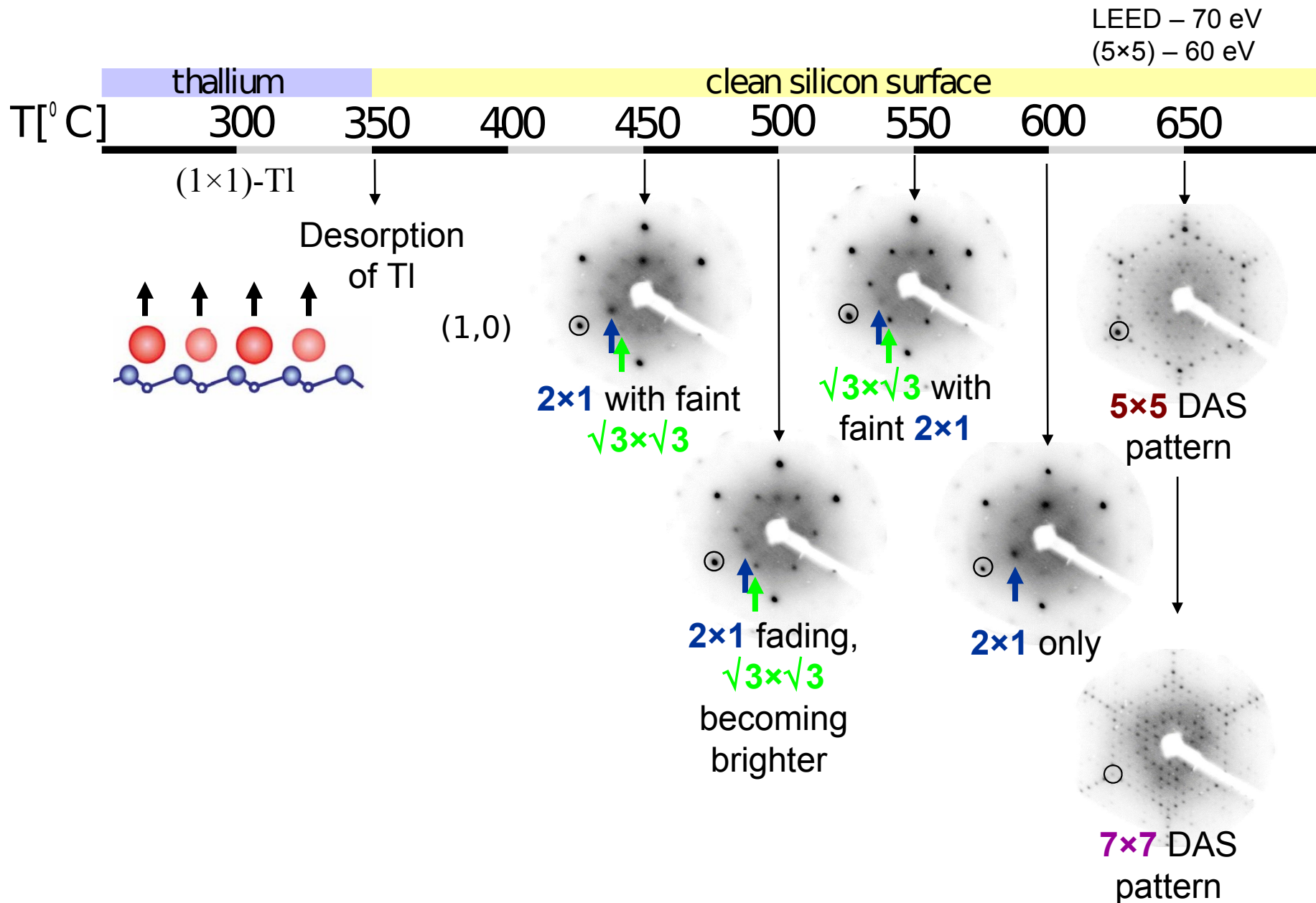
# kombinace STM s jinými technikami

- STM + LEED (low energy electron diffraction)

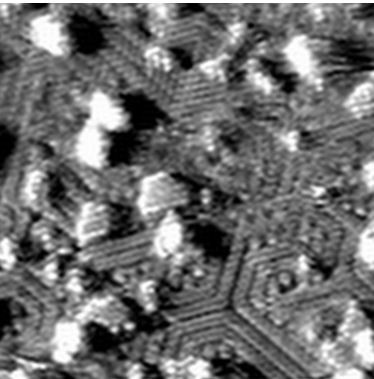




# Structural changes observed by LEED

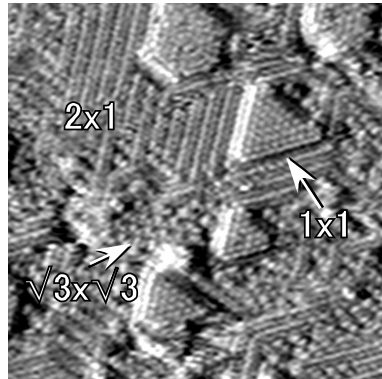


# Structural changes observed by STM



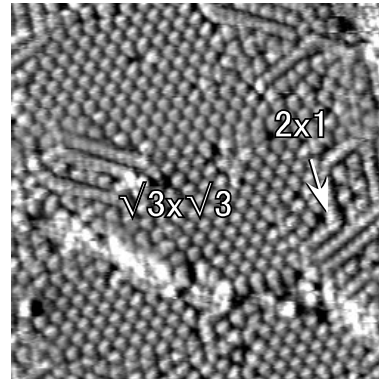
400°C 15 nm

2x1 reconstruction with bright shapeless clusters



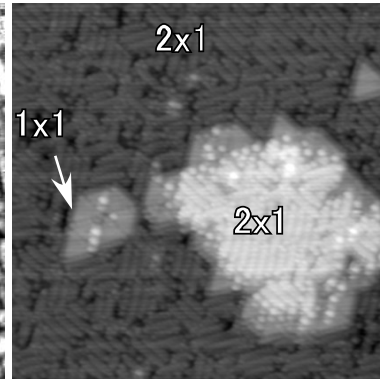
450°C 15 nm

2x1 coexisting with  $\sqrt{3}\times\sqrt{3}$  and 1x1 islands



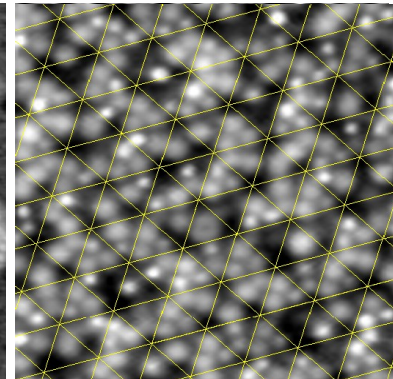
500°C 15 nm

Mostly  $\sqrt{3}\times\sqrt{3}$  with some 2x1 stripes



600°C 25 nm

Mostly 2x1 stripes



650°C 10 nm

5x5 with missing adatoms

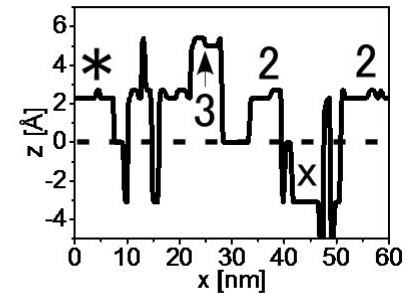
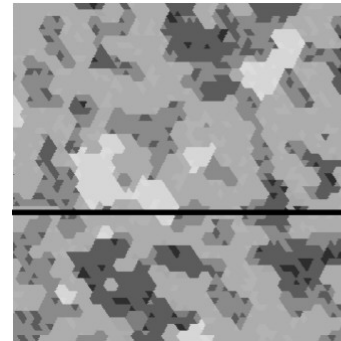
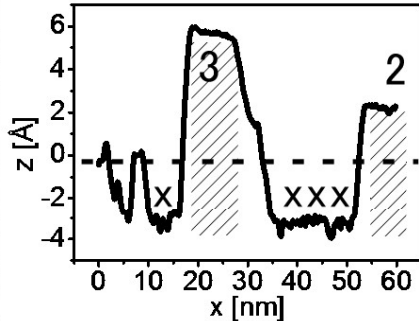
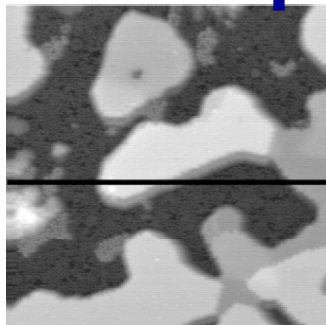
# kombinace STM s jinými technikami

- STM + KMC (kinetic Monte Carlo)

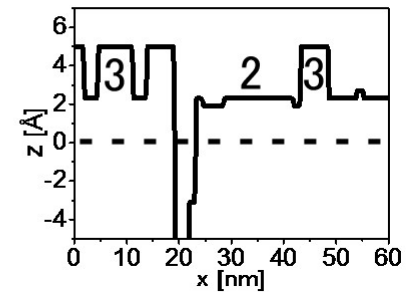
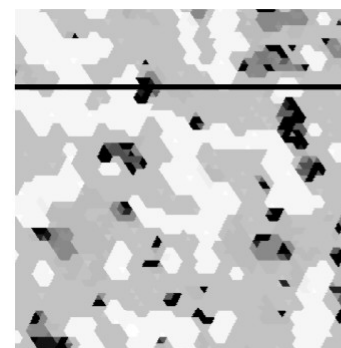
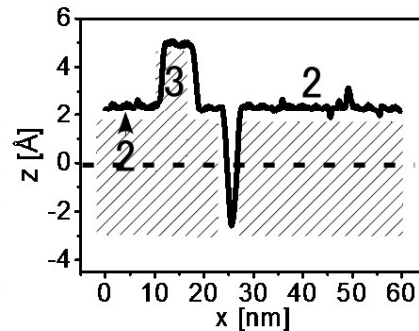
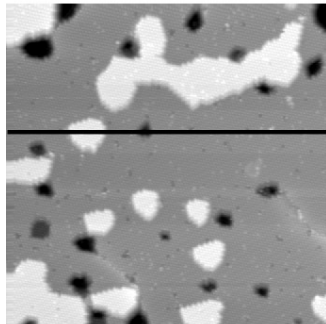
**experiment**

**teorie**

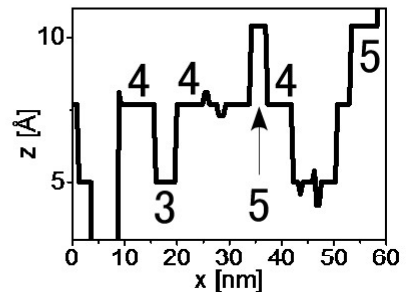
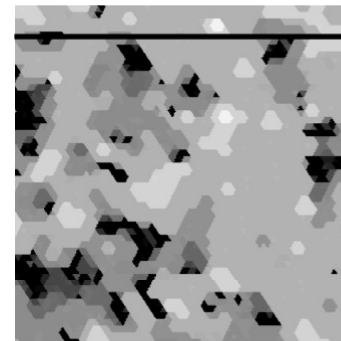
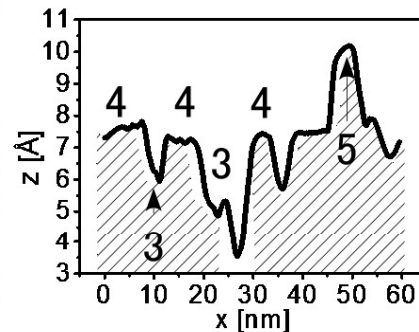
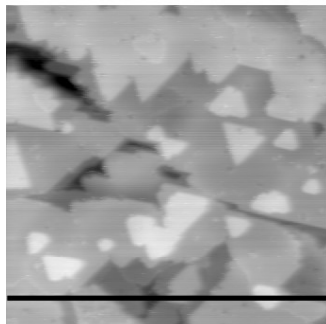
1.5 ML



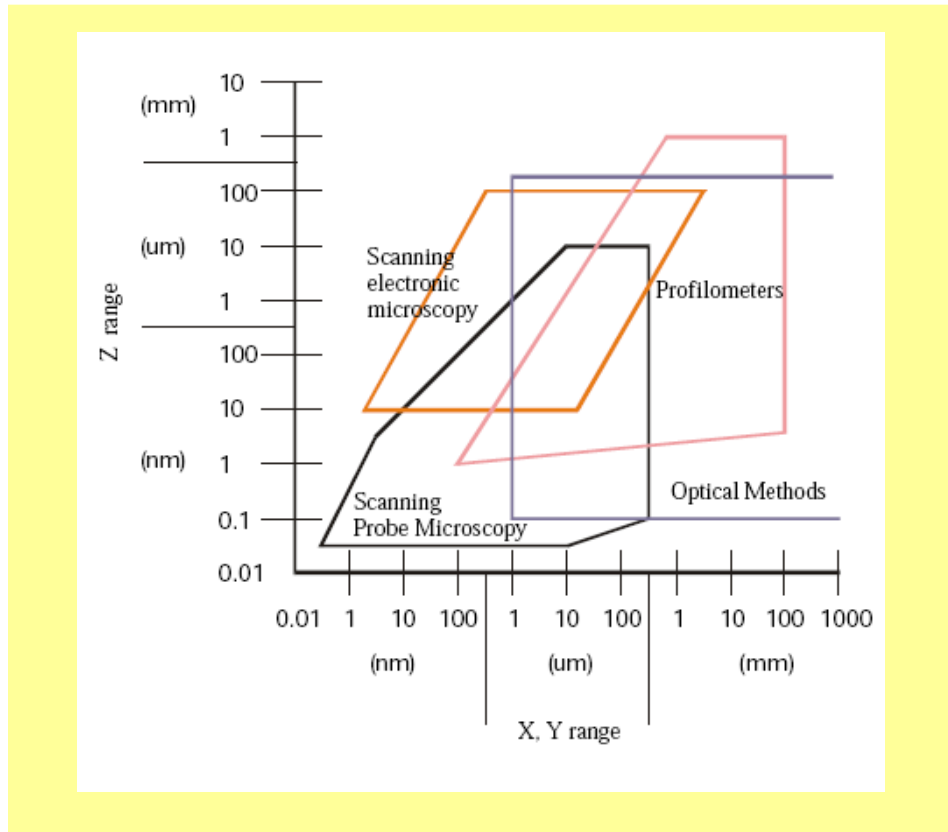
3 ML



5 ML



## ➤ Comparison with other methods



## STM, AFM

- real space imaging
- local, atomic resolution
- local spectroscopy  
STM: tunneling electrons – LDOS, CITS;  
AFM: force – chemical information
- Non destructive methods
- Manipulation with surface atoms (STM, AFM) and simultaneous surface imaging
- exclusively surface sensitive
- experimentally difficult
- **HRTEM** – atomic resolution in phase space
- **LEEM** – atomic step resolution
- **FIM** – atomic resolution, sample in a shape of a tip

**Lattice parameters, long range arrangement of atoms:**  
STM, AFM cannot be comparable with diffraction methods !